

Titre de la thèse (sur plusieurs lignes si nécessaire)

Traduction du titre de la thèse (sur plusieurs lignes si nécessaire)

Thèse de doctorat de l'université Paris-Saclay et de l'université XXX (si cotutelle - sinon enlever cette seconde partie)

École doctorale n° d'accréditation, dénomination et sigle
Spécialité de doctorat : voir annexe
Graduate School : voir annexe. Référent : voir annexe

Thèse préparée dans la (ou les) unité(s) de recherche **Nom(s)** (voir annexe), sous la direction de **Prénom NOM**, titre du directeur ou de la directrice de thèse, la co-direction de **Prénom NOM**, titre du co-directeur ou de la co-directrice de thèse, le co-encadrement de **Prénom NOM**, titre, du co-encadrant ou de la co-encadrante ou la co-supervision de **Prénom NOM**, titre, du tuteur ou de la tutrice (en cas de partenariat industriel)

Thèse soutenue à Paris-Saclay, le JJ mois AAAA, par

Prénom NOM

Composition du jury

Membres du jury avec voix délibérative

Prénom NOM

Titre, Affiliation

Président ou Présidente

Rapporteur & Examinateur / trice

Rapporteur & Examinateur / trice

Examinateur ou Examinatrice

Examinateur ou Examinatrice

Titre : titre (en français).....

Mots clés : 3 à 6 mots clefs (version en français)

Résumé : Lorem ipsum dolor sit amet, consec-tetuer adipiscing elit. Ut purus elit, vestibulum ut, placerat ac, adipiscing vitae, felis. Curabitur dictum gravida mauris. Nam arcu libero, no-nummy eget, consectetuer id, vulputate a, magna. Donec vehicula augue eu neque. Pellentes-que habitant morbi tristique senectus et netus et malesuada fames ac turpis egestas. Mauris ut leo. Cras viverra metus rhoncus sem. Nulla et lectus vestibulum urna fringilla ultrices. Phasel-lus eu tellus sit amet tortor gravida placerat. In-teger sapien est, iaculis in, pretium quis, viverra ac, nunc. Praesent eget sem vel leo ultrices bi-bendum. Aenean faucibus. Morbi dolor nulla, malesuada eu, pulvinar at, mollis ac, nulla. Cu-rabitur auctor semper nulla. Donec varius orci

eget risus. Duis nibh mi, congue eu, accumsan eleifend, sagittis quis, diam. Duis eget orci sit amet orci dignissim rutrum.

Nam dui ligula, fringilla a, euismod sodales, sollicitudin vel, wisi. Morbi auctor lorem non ju-sto. Nam lacus libero, pretium at, lobortis vitae, ultricies et, tellus. Donec aliquet, tortor sed accumsan bibendum, erat ligula aliquet magna, vitae ornare odio metus a mi. Morbi ac orci et nisl hendrerit mollis. Suspendisse ut massa. Cras nec ante. Pellentesque a nulla. Cum so-ciis natoque penatibus et magnis dis parturient montes, nascetur ridiculus mus. Aliquam tinci-dunt urna. Nulla ullamcorper vestibulum tur-pis. Pellentesque cursus luctus mauris.

Title : titre (en anglais).....

Keywords : 3 à 6 mots clefs (version en anglais)

Abstract : Lorem ipsum dolor sit amet, consec-tetuer adipiscing elit. Ut purus elit, vestibulum ut, placerat ac, adipiscing vitae, felis. Curabitur dictum gravida mauris. Nam arcu libero, no-nummy eget, consectetuer id, vulputate a, magna. Donec vehicula augue eu neque. Pellentes-que habitant morbi tristique senectus et netus et malesuada fames ac turpis egestas. Mauris ut leo. Cras viverra metus rhoncus sem. Nulla et lectus vestibulum urna fringilla ultrices. Phasel-lus eu tellus sit amet tortor gravida placerat. In-teger sapien est, iaculis in, pretium quis, viverra ac, nunc. Praesent eget sem vel leo ultrices bi-bendum. Aenean faucibus. Morbi dolor nulla, malesuada eu, pulvinar at, mollis ac, nulla. Cu-rabitur auctor semper nulla. Donec varius orci

eget risus. Duis nibh mi, congue eu, accumsan eleifend, sagittis quis, diam. Duis eget orci sit amet orci dignissim rutrum.

Nam dui ligula, fringilla a, euismod sodales, sollicitudin vel, wisi. Morbi auctor lorem non ju-sto. Nam lacus libero, pretium at, lobortis vitae, ultricies et, tellus. Donec aliquet, tortor sed accumsan bibendum, erat ligula aliquet magna, vitae ornare odio metus a mi. Morbi ac orci et nisl hendrerit mollis. Suspendisse ut massa. Cras nec ante. Pellentesque a nulla. Cum so-ciis natoque penatibus et magnis dis parturient montes, nascetur ridiculus mus. Aliquam tinci-dunt urna. Nulla ullamcorper vestibulum tur-pis. Pellentesque cursus luctus mauris.

Table des matières

1	Introduction	5
2	Problématique	7
3	État de l'art : PLAN (à supprimer après rédaction)	9
3.1	Introduction	9
3.2	IA générative	9
3.3	Méthodes pour le traitement de séquence	9
3.4	Les améliorations	10
4	État de l'art	11
4.1	Introduction	11
4.1.1	Cadre Conceptuel : Environnement Virtuel et Jumeau Numérique	11
4.1.2	Injection 1 : constitution géométrique et visuelle de l'environnement	12
4.1.3	Injection 2 : représentation des phénomènes physiques	13
4.1.4	Injection 3 : interaction et adaptation décisionnelle	14
4.1.5	Ancrage dans la problématique	15
4.2	IA générative	16
4.2.1	L'approche probabiliste explicite : Les VAE (2013)	16
4.2.2	La révolution antagoniste : Les GAN (2014)	17
4.2.3	La génération par raffinement : Les Modèles de Diffusion (2020)	17
4.2.4	Le paradigme séquentiel et l'Autorégression	18
4.2.5	Ancrage dans la problématique	18
4.3	Méthode traitement de séquence	19
4.3.1	Le concept de séquence : De l'ensemble à la structure ordonnée	19
4.3.2	Réseaux de convolution	20
4.3.3	Réseaux de neurones récurrents et Espaces d'Etats (RNN et SSM)	25
4.3.4	Transformer	28
4.3.5	Ancrage dans la problématique	35
5	AVERTISSEMENT	37
6	COMPOSITION GÉNÉRALE, CHARTE GRAPHIQUE	39
6.1	COMPOSITION DU DOCUMENT	39
6.2	QUELS LOGOS FAIRE FIGURER?	39
6.3	POLICES DE CARACTÈRES ET COULEURS	39

7 INFORMATIONS GÉNÉRALES SUR LA PAGE DE COUVERTURE	41
7.1 TITRE DE LA THÈSE ET LANGUE(S)	41
7.2 SPÉCIALITÉ DE DOCTORAT	41
7.3 UNITÉ DE RECHERCHE	42
7.4 LE RÉFÉRENT	42
7.5 GRADUATE SCHOOL	43
7.6 ÉCOLE DOCTORALE	43
7.7 LIEU ET DATE DE SOUTENANCE	44
8 CIVILITÉ, FÉMINISATION DES TITRES ET FONCTIONS	45
9 PRÉSENTATION DE LA DIRECTION DE LA THÈSE OU DE L'ÉQUIPE D'ENCADREMENT	47
10 COMPOSITION DU JURY	49
10.1 A QUOI SERVENT CES INFORMATIONS?	49
10.2 LÉGITIMITÉ ACADEMIQUE	49
10.3 INDÉPENDANCE	50
10.4 FONCTION DANS LE JURY ET ORDRE DE CITATION	51
10.4.1 Ordre de citation	51
10.4.2 Les rapporteurs	51
11 BIEN CITER SES SOURCES	53
11.1 S'INFORMER SUR LE PLAGIAT	53
11.2 LES IMAGES	53
11.3 ARTICLES JOINTS A LA THÈSE	53
12 DÉPOSER ET DIFFUSER SA THÈSE	55
12.1 LES RESSOURCES A CONSULTER	55
12.2 LES DÉMARCHES	55
13 ANNEXE : LES LOGOS INSTITUTIONNELS	57
13.1 LE LOGO DE L'UNIVERSITÉ PARIS-SACLAY	57
13.2 LOGOS, NUMÉROS D'ACCREDITATION ET DÉNOMINATIONS DES ÉCOLES DOCTORALES	57

1 - Introduction

Le chapitre introduction comprendra les éléments suivants :

- Introduction du domaine de la guerre électronique
- Les grandes lignes du rôle du capteur ESM
- Explications de l'utilité de l'environnement numérique
- La problématique d'accélération
- Introduction succincte sur le domaine de l'IA
- Le plan de notre approche

2 - Problématique

Le chapitre sur la problématique contiendra les éléments suivants :

- Description du fonctionnement du capteur ESM dans l'environnement (dans la limite de ce qu'on peut dire), intégré dans la chaîne algorithmique de traitement de l'information.
- Description du fonctionnement de l'environnement numérique, avec l'explication des modélisations de chaque traitement.
- Spécification du goulot d'étranglement et commentaire sur les données I/O.
- Commentaire sur le complexité du problème pour l'apprentissage automatique : double problématique génération et traitement de séquence.
- Penser à ajouter des références de traitement avec ce principe de mesureur (brevet?) pour montrer qu'on ne révèle pas des secrets

3 - État de l'art : PLAN (à supprimer après rédaction)

Le chapitre sur l'état de l'art se découpe en 4 parties.

3.1 . Introduction

Cette section aborde les aspects suivants :

- Environnements numériques
- Injection 1 : génération et modélisation de l'environnement
- Injection 2 : simulation de phénomènes physiques
- Injection 3 : adaptation et interaction

3.2 . IA générative

Cette section présente le domaine de l'IA générative. Notre problème peut y être naïvement associé mais en réalité quasiment aucune des méthodes ne sera applicable. Les aspects présentés sont :

- Le concept d'IA générative. En notant que n'importe quelle fonction génère une sortie à partir d'une entrée et que la dériver de tout appeler IA générative est tentante.
- Les VAE et spécialement VAE conditionnels
- Les GAN et spécialement GAN conditionnels
- Les modèles de diffusion et spécialement ceux conditionnels
- Les modèles de langage et GPT

3.3 . Méthodes pour le traitement de séquence

Cette section présente les architectures connues pour leurs capacités à traiter des séquences, de leurs formes les plus simples aux formes les plus complexes. Par ordre d'apparition :

- Le concept de séquence : notion de proximité dans un ensemble. Série temporelle, image, texte.
- Réseau de convolution :
 - Histoire de son apparition : dans l'image
 - Comment la convolution interagit avec la séquence
 - La convolution dans l'image (vue comme une séquence)
 - La convolution dans le texte
 - La convolution ailleurs
- Réseau de neurones récurrents :
 - Histoire de son apparition
 - Comment un RNN interagit avec la séquence
 - Variante SSM

- RNN dans le texte
- RNN dans les systèmes temporels (chaine de Markov)
- Transformer :
 - Histoire de son apparition : dans le langage
 - Comment le Transformer interagit avec la séquence
 - Transformer dans le texte (traduction, GPT, ...)
 - Transformer dans les systèmes temporels (chaine de Markov)
 - Transformer dans l'image
 - Transformer ailleurs (généralisation)

3.4 . Les améliorations

Cette section met en avant les difficultés liées à l'apprentissage automatique, entre complexité calculatoire, mémorielle et instabilité en entraînement. À cette occasion, nous montrons les propositions existantes visant à résoudre ces problèmes. Par ordre d'apparition :

- Compréhension des architectures : Mechanistic Interpretability
- Présentation des soucis de performances
- Présentation des solutions aux soucis de performances
 - Positional Encoding
 - Certains mécanismes d'attention
 - Pre-Training
 - Embedding et tokenization
- Présentation des soucis de stabilité
- Présentation des solutions aux soucis de stabilité :
 - Layer-norm
 - Initialisation
 - Structure (hyper-paramètre de manière générale)
- Présentation des soucis d'efficacité et leurs solutions
 - Complexité mémoire et calcul : mécanisme d'attention
 - Vitesse d'entraînement : MAMBA?

4 - État de l'art

4.1 . Introduction

L'émergence de l'industrie 4.0 et le développement rapide de l'intelligence artificielle ont propulsé l'utilisation de représentations virtuelles pour simuler, analyser et optimiser des systèmes physiques. Dans ce paysage technologique en pleine effervescence, les termes « jumeau numérique » et « environnement numérique » sont souvent employés de manière interchangeable, engendrant une confusion sémantique préjudiciable à la précision scientifique. Afin de poser les bases conceptuelles solides nécessaires à ce travail, cette section a pour objectif de démêler ces notions. Nous retracerons dans un premier temps l'origine et les définitions, tant idéales que pragmatiques, du jumeau numérique. Dans un second temps, nous présenterons une définition unificatrice et fonctionnelle de l'environnement numérique. Enfin, une synthèse comparative nous permettra d'établir une distinction claire basée sur les flux de données et le critère d'individualisation, et de justifier le positionnement terminologique adopté dans le cadre de cette étude.

4.1.1 . Cadre Conceptuel : Environnement Virtuel et Jumeau Numérique

Le concept de jumeau numérique, popularisé et formalisé dès le début des années 2000 par les travaux de Michael Grieves dans le domaine de la manufacturing [1], puis théorisé comme un pilier des systèmes cyber-physiques (CPS) par des auteurs comme Negri et al. [2], a connu une adoption rapide et variée à travers l'industrie.

Si le terme de "jumeau numérique" s'est imposé dans le paysage technologique, sa définition précise fait l'objet d'un débat animé entre une vision idéale et une approche pragmatique. D'un côté, les puristes, s'appuyant sur les travaux fondateurs de la NASA et de Grieves [1], défendent l'idée qu'un véritable jumeau numérique se caractérise par un couplage bidirectionnel et dynamique avec son homologue physique. Dans cette perspective exigeante, le jumeau n'est pas une simple représentation ; il est une représentation qui s'enrichit continuellement des données du physique et, en retour, pilote, optimise et prédit son comportement [2]. Cette boucle fermée est considérée comme la condition permettant de distinguer le jumeau numérique d'un simple modèle ou d'une simulation. De l'autre, une approche plus pragmatique, largement répandue dans l'industrie, adopte une définition évolutive et par niveaux de maturité. Dans cette vision, une maquette 3D enrichie de données, parfois qualifiée de "digital shadow", peut déjà être labellisée "jumeau numérique". Cette flexibilité sémantique, bien que source de confusion, reflète la réalité des projets industriels où la complexité et le coût d'une intégration parfaite imposent une progression par étapes. Malgré tout, une ligne de démarcation essentielle fait consensus : l'existence d'un transfert de données automatique du système physique vers son représentant virtuel. Sans ce flux, la représentation demeure une simulation ou un modèle générique, que nous qualifierons ici d'« environnement numérique ». Par exemple les simulateurs de conduite autonome comme CARLA [3] sont des environnements numériques essentiels pour

l'entraînement des algorithmes d'IA, mais ils simulent un monde routier générique non couplé à un véhicule physique unique, et ne sont en se sens pas des jumeaux numériques. En revanche, certains simulateurs de moteur d'avion, comme ceux déployés par General Electric [4], qui est alimenté en temps réel par les données de vol de l'équipement spécifique, incarnent la définition minimale du jumeau numérique, souvent appelée « Digital Shadow ». Ils permettent un suivi individualisé de l'état de santé et de l'usure de chaque moteur de la flotte.

Pour désigner les représentations numériques qui ne sont pas couplées à une instance physique unique, nous recourons donc au terme plus large et unificateur d'Environnement Numérique (Virtual Environment - VE).

La notion d'Environnement Virtuel est interdisciplinaire, et sa définition varie selon que l'on se place dans la communauté de la Réalité Virtuelle, de l'Ingénierie Système ou de l'Intelligence Artificielle. La recherche en Réalité Virtuelle, historiquement focalisée sur l'immersion sensorielle et l'interaction humain-machine, définit souvent les VE comme des « mondes synthétiques générés par ordinateur dans lesquels l'utilisateur a un sentiment d'être présent et d'y interagir » [5]. Cette perspective met l'accent sur les aspects perceptuels et cognitifs. En revanche, dans les domaines de l'ingénierie et de l'IA, l'accent est davantage porté sur la fonction de simulation et de cadre d'expérimentation. Ici, un VE est vu comme un « modèle informatique exécutable d'un système » [6] ou un « cadre de simulation qui permet le test et la validation d'algorithmes dans des conditions contrôlées et reproductibles » [7]. Cette vision est moins concernée par l'immersion de l'utilisateur que par la fidélité de la modélisation des processus et des interactions.

Pour englober ces différentes finalités – de la formation immersive au banc d'essai algorithmique – nous proposons la définition unificatrice suivante : Un Environnement Virtuel (VE) désigne une simulation numérique interactive modélisant un ensemble d'entités et de phénomènes, dans le but d'observer, d'analyser ou d'expérimenter des comportements au sein d'un cadre contrôlé.

Ainsi, la notion de VE s'étend du monde immersif interactif au simulateur de système, selon l'objectif visé. Dans le contexte spécifique du développement algorithmique, qui est le nôtre, un VE est principalement un outil de prototypage et de validation : il permet de reproduire des situations expérimentales, de générer des données synthétiques et de tester des modèles ou des algorithmes de manière intensive, sûre et économique, sans recourir initialement à des dispositifs physiques.

L'intégration de l'Intelligence Artificielle au cœur des VE ne constitue pas une approche monolithique, mais se déploie selon trois grands axes d'intervention complémentaires. Ils adressent respectivement le défi de la création des VE, l'amélioration des performances de la simulation elle-même et les capacités d'interaction et d'adaptation du VE.

4.1.2 . Injection 1 : constitution géométrique et visuelle de l'environnement

L'injection d'IA dans la conception des environnements numériques répond à deux impératifs distincts : la fidélité de la représentation du monde réel (modélisation) et la diversité des scénarios simulés (génération). Historiquement, ces tâches reposaient sur des processus manuels coûteux. L'apprentissage profond permet d'automatiser ces flux de travail à travers deux

paradigmes complémentaires : la reconstruction neurale pour capturer le réel, et la synthèse générative pour créer des actifs inédits.

Modélisation : reconstruction neurale et représentations implicites Le premier défi réside dans la numérisation automatisée d'environnements physiques existants. Les approches classiques de photogrammétrie, basées sur des maillages polygonaux explicites, montrent leurs limites en termes de gestion des reflets, de la translucidité et de la densité de stockage. Une alternative significative a émergé avec les représentations implicites, notamment les *Neural Radiance Fields* (NeRF) [8]. Cette méthode propose d'encoder la géométrie et l'apparence d'une scène non pas dans une structure de données géométrique, mais dans les poids d'un perceptron multicouche (MLP).

Bien que précis, le NeRF original présente des coûts d'entraînement et d'inférence élevés. L'introduction du *Hash Encoding* multi-résolution [9] a permis de réduire drastiquement les temps d'apprentissage. Plus récemment, une transition vers des représentations hybrides a été opérée avec le *3D Gaussian Splatting* [10]. En substituant le lancer de rayon volumétrique par une rastérisation de gaussiennes 3D anisotropes, cette méthode concilie la qualité visuelle des représentations neurales avec les performances temps réel (> 100 FPS) requises pour l'interactivité au sein du VE.

Génération : synthèse d'actifs par diffusion Au-delà de la reproduction du réel, la simulation requiert la capacité de générer des environnements variés incluant des objets ou des conditions non observés. L'IA générative intervient ici pour la création d'actifs 3D, palliant la rareté des banques de modèles 3D par l'exploitation des vastes ensembles de données image-texte 2D.

L'état de l'art actuel s'appuie sur le transfert de connaissances depuis des modèles de diffusion 2D pré-entraînés vers la 3D. La méthode *DreamFusion* (Poole et al., 2022) [11] a formalisé ce principe via le *Score Distillation Sampling* (SDS). Cette technique utilise un modèle de diffusion 2D comme fonction de critique pour optimiser une représentation 3D (telle qu'un NeRF), de sorte que ses rendus 2D correspondent à une description textuelle donnée. Des itérations ultérieures, comme *ProlificDreamer* (Wang et al., 2023) [12], ont affiné ce processus via le *Variational Score Distillation* (VSD) pour améliorer la fidélité géométrique et la résolution des textures. Ces approches permettent d'envisager des pipelines de "texte-vers-environnement", où la description sémantique d'une scène suffit à instancier un cadre de simulation complet et physiquement cohérent.

4.1.3 . Injection 2 : représentation des phénomènes physiques

L'objectif de cette seconde injection est de substituer ou d'accélérer les solveurs numériques traditionnels (Éléments Finis, Volumes Finis) dont la complexité calculatoire limite les applications temps réel. L'état de l'art s'articule autour de la manière dont la connaissance physique est intégrée dans le modèle d'apprentissage. Nous distinguons trois niveaux d'intégration, allant de l'apprentissage pur par les données à l'intégration structurelle des lois physiques.

Apprentissage par Observation (Data-Driven) Le premier niveau considère le simulateur comme une "boîte noire" dont il faut approximer la fonction de transfert à partir d'observations. L'IA apprend ici les corrélations spatio-temporelles sans connaissance explicite des équations sous-jacentes. Les Graph Neural Networks (GNN) se sont imposés comme l'architecture de référence pour cette tâche, notamment pour les systèmes lagrangiens (particules). Les travaux sur les *Graph Network-based Simulators* (GNS) [13] démontrent une capacité remarquable à prédire la dynamique de fluides et de solides déformables en modélisant les interactions locales par passage de messages. Bien que très rapides à l'inférence, ces modèles souffrent d'un manque de garanties physiques : sans contrainte explicite, ils peuvent violer les lois de conservation (masse, énergie) et dériver sur de longues horizons temporels.

Apprentissage constraint par les Équations (Physics-Informed) Pour pallier le manque de robustesse physique et la dépendance aux données, une seconde approche intègre les Équations aux Dérivées Partielles (EDP) directement dans l'optimisation. C'est le paradigme des Physics-Informed Neural Networks (PINNs) [14]. Ici, le réseau de neurones agit comme un approximateur universel de la solution, et sa fonction de coût inclut les résidus de l'équation physique (ex : Navier-Stokes). Cette méthode permet de s'affranchir partiellement ou totalement de données d'étiquetage (apprentissage non supervisé par la physique). Cependant, les PINNs font face à des défis d'optimisation majeurs (paysage de perte complexe) lorsqu'ils sont confrontés à des dynamiques multi-échelles ou chaotiques.

Apprentissage structuré par la Physique (Inductive Bias) Le troisième niveau d'intégration cherche à inscrire les lois physiques non plus dans la fonction de perte (contrainte douce), mais dans l'architecture même du réseau (contrainte dure ou biais inductif). D'une part, les Hamiltonian Neural Networks (HNN) [15] imposent une structure symplectique au réseau. Au lieu d'apprendre directement les accélérations, le réseau apprend l'Hamiltonien (l'énergie totale) du système, garantissant par construction la conservation de l'énergie et la réversibilité temporelle, ce qui est crucial pour la stabilité des simulations orbitales ou mécaniques sur le très long terme. D'autre part, les Fourier Neural Operators (FNO) [16] exploitent la structure spectrale des solutions d'EDP. En apprenant l'opérateur intégral dans l'espace de Fourier, ils acquièrent une propriété d'invariance à la discréétisation (zero-shot super-resolution), permettant de prédire la physique à des résolutions arbitraires, une propriété structurelle absente des CNN ou MLP classiques.

4.1.4 . Injection 3 : interaction et adaptation décisionnelle

Cette dernière dimension transforme l'environnement numérique d'un cadre passif en un écosystème réactif et adaptatif. L'objectif est d'enrichir la dynamique interactionnelle pour confronter le système sous test à des situations d'une complexité réaliste, impossible à coder manuellement via des scénarios déterministes.

L'environnement peuplé d'agents apprenants (IA comme Acteur) La première contribution de l'IA est le remplacement des entités scriptées (PNJ, trafic, adversaires) par des agents autonomes pilotés par des politiques neuronales. Contrairement aux machines à états finis classiques, prévisibles et limitées, ces agents sont entraînés via l'Apprentissage par Renforcement Multi-Agents (MARL) ou des mécanismes de Self-Play [17]. Cela permet de peupler le VE d'adversaires ou de collaborateurs capables de stratégies émergentes et optimales. L'exemple du défi DARPA AlphaDogfight (2020), où des agents IA ont développé des manœuvres de combat aérien surclassant les experts humains, illustre comment l'injection d'agents apprenants permet de soumettre le système testé à des niveaux de difficulté et de réalisme inatteignables par des méthodes heuristiques [18]. Ici, l'environnement devient "intelligent" car ses composantes actives s'adaptent au comportement de l'utilisateur ou du système validé.

L'environnement comme générateur de curriculum (IA comme Superviseur) La seconde contribution concerne le pilotage des paramètres de la simulation par des algorithmes d'optimisation ou évolutionnaires. Au-delà du simple Domain Randomization aléatoire [19], qui manque de direction, l'IA est utilisée pour structurer activement l'apprentissage : c'est l'Apprentissage de Curriculum Automatique (Automatic Curriculum Learning). Des méthodes comme POET (Paired Open-Ended Trailblazer) utilisent des algorithmes évolutionnaires pour co-générer l'environnement en même temps que l'agent [20]. L'algorithme cherche spécifiquement à générer les configurations topologiques ou physiques (terrains accidentés, conditions météo limites) qui maximisent le progrès de l'agent, créant une "course à l'armement" entre la difficulté du monde et la compétence de l'agent. Dans ce cadre, les algorithmes évolutionnaires agissent comme une forme d'IA générative fonctionnelle, créant des scénarios pertinents et ciblés ("Edge cases") que le hasard seul ne produirait que rarement.

Ainsi, l'IA transforme le simulateur : d'un simple banc d'essai physique, il devient un partenaire d'entraînement actif, capable de générer des opposants redoutables et d'adapter sa propre complexité pour guider l'apprentissage.

4.1.5 . Ancrage dans la problématique

La distinction fondamentale entre le jumeau numérique et l'environnement numérique réside dans le principe d'individualisation par les données et la nature du couplage à un actif physique. Le jumeau numérique, qu'il soit envisagé sous sa forme idéale de couplage bidirectionnel ou sous sa forme minimale de « Digital Shadow », se définit intrinsèquement comme l'avatar numérique d'une instance physique unique, tel un moteur d'avion portant un numéro de série spécifique. Son essence est indissociable du lien de données continu avec son homologue physique. En revanche, l'environnement numérique se conçoit comme une représentation générique d'une classe de systèmes. Son essence réside dans la modélisation fidèle de comportements et de lois physiques au sein d'un cadre contrôlé et reproductible. Par conséquent, afin d'éviter toute ambiguïté terminologique, ce mémoire utilise de manière exclusive le terme d'Environnement Numérique (VE) pour désigner le cadre de simulation qui constitue son objet d'étude.

Concrètement, le système que nous analysons est un simulateur de capteur de Mesures de Soutien Électronique (MSE), destiné à la génération de données synthétiques pour le développement algorithmique. Ce simulateur transforme une séquence d'entrée de "mots de description d'impulsion" (PDW) idéaux en une séquence de PDW réalistes, en modélisant les effets d'antenne, les interférences et le pistage temporel. Il opère sur des scénarios tactiques génériques et non sur des données temps réel d'un capteur en opération, validant ainsi sa classification comme VE.

L'analyse des trois axes d'injection d'IA révèle la singularité de notre approche au sein de ce VE. Bien que l'objectif fonctionnel soit l'accélération de la physique (Injection 2), les méthodes classiques comme les GNN ou les PINN sont inadaptées car elles traitent principalement des champs spatiaux continus. Or, notre goulot d'étranglement réside dans la transformation de séquences d'événements discrets (les PDW). Notre problématique se situe donc à l'intersection de la simulation physique et du traitement de l'information : il s'agit d'apprendre la fonction de transfert du capteur, un processus qui s'apparente conceptuellement à une tâche de "traduction" d'un état physique vers un état perçu. Ce constat motive l'adoption d'une approche fondée sur l'IA générative constructive et les architectures de traitement de séquence, dont nous explorerons les fondements théoriques dans les sections suivantes.

4.2 . IA générative

Dans le paysage contemporain de l'apprentissage profond, la définition de l'IA générative a évolué au-delà de la stricte opposition statistique entre modèles de densité et modèles discriminants. Là où un modèle classique condense l'information (classification, réduction de dimension), un modèle génératif apprend à construire des données de haute dimension, structurées spatialement ou temporellement, en capturant les dépendances complexes inhérentes au jeu d'entraînement. L'IA générative désigne aujourd'hui une classe d'architectures neuronales caractérisée par sa capacité de synthèse.

Un modèle est qualifié de génératif dès lors qu'il construit une donnée structurée en capturant la distribution de probabilité sous-jacente. L'objectif n'est pas simplement d'estimer une valeur locale, mais de bâtir une cohérence globale, respectant les corrélations intrinsèques du domaine d'apprentissage. Cette définition par la capacité constructive est particulièrement pertinente pour la modélisation de systèmes physiques, où la distinction entre discret et continu s'estompe

Dans le contexte spécifique de l'accélération de simulation, nous nous intéressons particulièrement aux modèles génératifs conditionnels, capables de produire une sortie structurée complexe, tel un champ physique ou un état futur, correspondant à une condition initiale. Cette section explore l'évolution chronologique de ces architectures, depuis les approches opérant dans des espaces continus jusqu'aux paradigmes séquentiels discrets.

4.2.1 . L'approche probabiliste explicite : Les VAE (2013)

La première avancée significative dans l'apprentissage profond de distributions complexes fut l'introduction des Auto-encodeurs Variationnels (VAE). Contrairement aux auto-encodeurs

classiques qui compressent l'information en un point déterministe de l'espace latent, les VAE imposent une structure probabiliste à cet espace, généralement sous la forme d'une distribution gaussienne multivariée. L'innovation majeure réside dans l'introduction de l'astuce de reparamétrisation (reparameterization trick), qui rend le processus d'échantillonnage différentiable et permet l'optimisation du modèle par descente de gradient en maximisant la borne inférieure de la vraisemblance (ELBO) [21]. Cette capacité à structurer l'espace latent est particulièrement pertinente pour les problèmes de simulation où une même condition initiale peut mener à plusieurs résultats possibles. Dans leur article sur les VAE Conditionnels (C-VAE) [22], il est prouvé qu'il est possible de modéliser des sorties structurées multimodales en conditionnant la génération à la fois par une variable latente aléatoire et par une observation d'entrée. Bien que théoriquement élégants, les VAE ont souffert historiquement d'une limitation qualitative, leur fonction de perte tendant à produire des résultats lissés. Cependant, des développements récents ont redonné une pertinence majeure à cette famille, notamment via la quantification vectorielle de l'espace latent (VQ-VAE). Ces modèles discrets sont désormais au cœur d'architectures de pointe comme les World Models, où un agent apprend à "rêver" des futurs possibles dans un espace latent compact pour accélérer l'apprentissage par renforcement en robotique [23], [24].

4.2.2 . La révolution antagoniste : Les GAN (2014)

Pour répondre au manque de piqué et de réalisme des méthodes variationnelles, une rupture paradigmique a été introduite avec les Réseaux Antagonistes Génératifs (GAN). Cette approche délaisse l'estimation explicite de la densité de probabilité au profit d'une méthode implicite fondée sur la théorie des jeux. Le processus d'apprentissage est modélisé comme un jeu minimax à somme nulle entre un générateur qui tente de créer des données indiscernables du réel, et un discriminateur qui tente de distinguer les échantillons générés des données d'entraînement [25]. Comme le soulignent les travaux théoriques sur les modèles implicites, cette formulation permet au générateur d'apprendre des statistiques d'ordre supérieur souvent ignorées par les méthodes classiques, s'affranchissant des contraintes de vraisemblance [26]. Dans le cadre de la "traduction" d'environnement, les variantes conditionnelles telles que l'architecture Pix2Pix se sont imposées pour transformer une représentation sémantique en une image photoréaliste, produisant des structures fines et des textures détaillées [27]. Si les GAN restent difficiles à stabiliser durant l'entraînement, ils ont démontré des capacités de généralisation spectaculaires au-delà de l'image statique. Des travaux comme tempoGAN ont par exemple appliqué ce principe à la mécanique des fluides, parvenant à super-résoudre des simulations volumétriques de fumée ou de liquide tout en garantissant une cohérence temporelle que les méthodes purement statistiques peinent à maintenir [28].

4.2.3 . La génération par raffinement : Les Modèles de Diffusion (2020)

La dernière vague d'innovation, qui définit une grande partie de l'état de l'art actuel, puise son inspiration dans la physique statistique hors équilibre. Les modèles de diffusion probabilistes proposent de construire la génération comme l'inversion d'un processus de destruction d'information. L'idée consiste à détruire progressivement la structure des données par l'ajout

successif de bruit gaussien, puis d'entraîner un réseau de neurones à inverser ce processus temporel pour reconstruire la donnée originale étape par étape [29]. Ce concept a été porté à maturité avec les Denoising Diffusion Probabilistic Models (DDPM), qui offrent un compromis inédit : ils atteignent une qualité d'échantillonnage supérieure aux GAN tout en couvrant mieux la diversité de la distribution des données, évitant le problème d'effondrement de mode [30]. Bien que le processus itératif soit intrinsèquement lent, des méthodes d'échantillonnage accélérées (DDIM) ont rendu ces modèles exploitables en production [31]. Au-delà de la génération d'images 2D, ce paradigme est aujourd'hui le moteur de la génération d'actifs pour les environnements virtuels. Des approches comme DreamFusion utilisent un modèle de diffusion 2D pré-entraîné pour optimiser une représentation volumétrique (NeRF), permettant de générer des objets 3D complets et cohérents à partir d'une simple description textuelle, ouvrant la voie à la création procédurale d'environnements physiques complexes [11].

4.2.4 . Le paradigme séquentiel et l'Autorégression

Enfin, une approche radicalement différente considère la génération comme une prédiction séquentielle discrète. Ce paradigme trouve ses racines dans les Réseaux de Neurones Récurrents (RNN), historiquement utilisés pour générer du texte ou des séries temporelles, mais limités par leur mémoire à court terme et leur séquentialité stricte [32]. La rupture fondamentale survient avec l'introduction de l'architecture Transformer et du mécanisme d'attention, qui permet de modéliser des dépendances à très long terme et de paralléliser le calcul [33]. L'évolution majeure de ce paradigme réside dans le concept de pré-entraînement génératif (GPT). Il a été démontré qu'un modèle entraîné massivement sur l'objectif simple de prédire le prochain élément d'une séquence acquiert une capacité de généralisation et de compréhension structurelle émergente [34]. Aujourd'hui, cette approche déborde largement du cadre du texte. Des architectures multimodales comme Gato [35] ou les Vision Transformers (ViT) [36] traitent les images ou les actions de contrôle robotique comme des séquences de tokens, unifiant ainsi la génération de contenu visuel et la prise de décision séquentielle au sein d'un même formalisme autorégressif. Cela positionne le traitement de séquence comme une méthode universelle pour la simulation, justifiant l'analyse détaillée des architectures séquentielles qui suivra.

4.2.5 . Ancrage dans la problématique

L'analyse du paysage de l'IA générative nous permet d'identifier les architectures les plus adaptées à la modélisation de notre simulateur de capteur. Si les modèles probabilistes explicites comme les VAE offrent une gestion intéressante de l'incertitude structurelle, leur tendance historique à produire des sorties lissées peut poser question quant à la fidélité des signaux radar, où la précision des paramètres fins tels que les fréquences est critique. Concernant les approches antagonistes (GAN), bien qu'elles soient performantes pour la synthèse d'images, leur adaptation directe à des séquences d'événements discrets paramétriques (les PDW) s'avère complexe, notamment pour gérer la causalité temporelle et la nature irrégulière du flux d'impulsions, sans compter leur instabilité d'entraînement connue. De même, si les modèles de diffusion définissent l'état de l'art actuel, leur processus de débruitage itératif est intrinsèquement

coûteux en temps de calcul. Cette caractéristique entre potentiellement en conflit avec notre objectif premier d'accélération de la simulation, en plus de nécessiter une adaptation lourde pour traiter des vecteurs de paramètres physiques plutôt que des pixels.

Cette analyse invite à considérer le paradigme séquentiel auto-régressif. Contrairement au Traitement du Langage Naturel qui opère sur des vocabulaires finis, notre simulation numérique évolue dans un espace métrique continu : chaque PDW est défini par des coordonnées réelles (temps d'arrivée, fréquence, largeur). Dans ce contexte, l'acte génératif ne consiste pas à sélectionner un symbole parmi un dictionnaire, mais à prédire directement les valeurs d'un état dans un espace vectoriel continu \mathbb{R}^n . Bien que ce processus s'apparente mathématiquement à une régression multivariée, il conserve la nature intrinsèque de la génération : le modèle doit bâtir, étape par étape, une cohérence globale du signal temporel. Ainsi, la reconstruction de la séquence de PDW perçue à partir de la séquence émise se formule comme une tâche de traduction de signal continu. Cela motive l'orientation de notre étude vers les architectures spécialisées dans le traitement de séquence, capables de capturer les dépendances à long terme comme le pistage temporel, justifiant l'analyse approfondie des RNN et des Transformers qui suivra.

4.3 . Méthode traitement de séquence

4.3.1 . Le concept de séquence : De l'ensemble à la structure ordonnée

Avant d'aborder les architectures neuronales spécifiques, il est essentiel de définir formellement l'objet mathématique qu'elles manipulent : la séquence. Dans l'apprentissage statistique classique, les données sont souvent supposées être indépendantes et identiquement distribuées (hypothèse i.i.d.). Le traitement de séquence rompt fondamentalement avec cette hypothèse en introduisant une notion d'ordre et de dépendance. Une séquence n'est pas un simple ensemble non ordonné, mais une collection indexée $X = \{x_1, x_2, \dots, x_T\}$ où l'indice t porte une information sémantique ou causale déterminante. La valeur d'un élément x_t n'a de sens que relativement à son contexte, c'est-à-dire son voisinage ou son historique. Cette définition transcende les domaines d'application, unifiant sous un même formalisme le texte, les séries temporelles et l'image.

séquence temporelle et la causalité La manifestation la plus intuitive de la séquence est temporelle et unidimensionnelle. Dans ce cadre, la notion de proximité est dictée par la causalité : l'état présent est une fonction de l'histoire passée. C'est le fondement de la théorie de l'information de Shannon [37], où le langage est modélisé comme un processus stochastique discret. Dans cette vision, la probabilité d'apparition d'un symbole (lettre ou mot) dépend conditionnellement de la séquence des symboles précédents, définissant la notion d'entropie d'une source d'information. Cette logique s'applique identiquement aux séries temporelles continues. Des travaux sur les modèles ARIMA [38] ont montré qu'une observation à l'instant t est mathématiquement corrélée à ses prédecesseurs immédiats et aux termes d'erreur passés. Dans ce formalisme statistique, la séquence est définie par une dépendance directionnelle irréversible

vers le futur.

La séquence spatiale et la contiguïté L'extension du concept de séquence à l'image est moins immédiate mais tout aussi fondamentale pour l'apprentissage profond moderne. Une image statique est une grille spatiale bidimensionnelle, mais elle peut être conceptualisée comme une séquence par deux approches distinctes. La première est la linéarisation explicite : on peut dérouler les pixels ligne par ligne pour former une longue chaîne unidimensionnelle. Des travaux comme PixelRNN [39] ont montré qu'en traitant les pixels ainsi, comme une séquence autorégressive où chaque pixel dépend de ceux situés "avant" lui (en haut et à gauche), on pouvait modéliser la distribution conjointe des pixels d'une image et générer des structures visuelles cohérentes. La seconde approche définit la séquence par la contiguïté spatiale locale : un pixel $x_{i,j}$ est un élément d'une structure dont le "contexte" est constitué de ses voisins adjacents dans toutes les directions. C'est cette vision topologique qui sous-tend les opérations de convolution, où la notion d'ordre temporel est remplacée par celle de proximité euclidienne.

Universalité de la modélisation séquentielle Finalement, le défi central des architectures de traitement que nous allons présenter (CNN, RNN, Transformer) est de modéliser cette fonction de dépendance conditionnelle $P(x_t|\text{Voisinage})$. La nature de ce voisinage varie selon le domaine : il est strictement causal et orienté vers le passé pour les séries temporelles et la génération de texte, tandis qu'il est bidirectionnel et spatial pour l'image ou la compréhension sémantique globale. Cependant, l'objectif mathématique reste identique : capturer les corrélations à courte et longue portée qui structurent la donnée, transformant une collection de valeurs isolées en une entité cohérente.

4.3.2 . Réseaux de convolution

Bien que les données séquentielles soient intuitivement associées à une dimension temporelle linéaire, le traitement de l'information repose fondamentalement sur l'extraction de motifs locaux et de relations de voisinage. C'est dans cette optique que les Réseaux de Neurones Convolutionnels (CNN) se positionnent comme une méthode incontournable. Initialement conçus pour la grille spatiale de l'image, ils formalisent une approche du traitement de séquence fondée sur la localité, l'invariance par translation et la hiérarchie des caractéristiques.

Genèse et prédominance dans l'imagerie L'histoire des réseaux de convolution est indissociable de la vision par ordinateur et de la volonté de s'affranchir des descripteurs manuels (SIFT [40], SURF [41] et HOG [42]). Inspirée par les travaux biologiques sur le cortex visuel, le premier modèle [43] a introduit les concepts fondateurs de champ récepteur local et de partage des poids pour la reconnaissance de caractères manuscrits. Cependant, c'est l'avènement d'AlexNet [44] qui a marqué le véritable point d'infexion en démontrant la supériorité de l'apprentissage profond sur GPU pour l'extraction de caractéristiques. Cette percée a ouvert la voie à des architectures plus profondes et plus efficientes. Par exemple, l'architecture GoogLeNet

[45] factorise les convolutions pour réduire le coût de calcul tout en augmentant la largeur du réseau, permettant de traiter des motifs à différentes échelles simultanément.

Mécanisme d'interaction : Filtrage local et expansion hiérarchique L'interaction fondamentale d'un réseau de convolution avec une séquence repose sur l'application répétée d'un opérateur de filtrage caractérisé par un noyau w de support fini. Contrairement à une couche dense qui apprendrait un poids spécifique pour chaque élément de la séquence globale, la convolution impose une contrainte de partage des poids qui nécessite que les données soient structurées dans un espace métrique régulier. En effet, l'opération presuppose l'existence d'une fonction $p(\cdot)$ permettant d'associer à chaque élément x sa position sur une grille sous-jacente, qu'elle soit unidimensionnelle pour des données temporelles ou multidimensionnelle pour des données spatiales.

Mathématiquement, le noyau w est défini sur un support \mathcal{V} centré à l'origine. Ainsi, le noyau définit pour tout élément cible x_t un voisinage d'interaction \mathcal{V}_t , correspondant à la translation du support \mathcal{V} en la position $p(x_t)$. L'opération de convolution consiste alors à calculer une somme pondérée des éléments appartenant à ce voisinage, où les poids sont déterminés exclusivement par la position relative entre les éléments et le centre. La sortie h_t (avant activation) s'exprime par l'équation :

$$h_t = \sum_{x_j \in \mathcal{V}_t} w_{\Delta(x_j, x_t)} \cdot x_j + b$$

Dans cette expression, $\Delta(x_j, x_t) = p(x_j) - p(x_t)$ représente le vecteur de position relative du voisin x_j par rapport au centre x_t , b est un biais. Une conséquence directe de la structure en grille des données est que ce vecteur de différence correspond systématiquement à un n-uplet d'entiers (n étant la dimension de la grille). Cette propriété discrète est fondamentale pour l'implémentation neuronale : elle implique que la fonction w n'a pas besoin d'être modélisée comme une fonction continue, mais se réduit à un ensemble fini de paramètres scalaires (les poids du filtre) qu'il suffit d'apprendre pour chaque décalage entier possible dans le support. Cette formulation garantit l'invariance par translation, assurant que le même motif de poids est appliqué uniformément sur toute la structure. Par ailleurs, l'application de ce voisinage aux bornes d'une grille finie nécessite une gestion des effets de bord, typiquement résolue par l'ajout de valeurs nulles (zero-padding) en périphérie afin de conserver la dimension de la séquence traitée.

Ce mécanisme permet l'extraction robuste de motifs locaux, mais la compréhension de la structure globale de la séquence émerge de la composition hiérarchique de ces opérations. L'illustration 4.1 permet de visualiser comment l'empilement de couches induit une expansion mathématique du champ récepteur. Considérons une première couche définie par un filtre w de taille 3. Pour un instant t , ce filtre induit un voisinage immédiat. L'équation locale est, en notant ϕ la fonction d'activation :

$$\begin{aligned} h_t^{(1)} &= w_1 x_{t-1} + w_2 x_t + w_3 x_{t+1} \\ x_t^{(1)} &= \phi(h_t^{(1)}) \end{aligned}$$

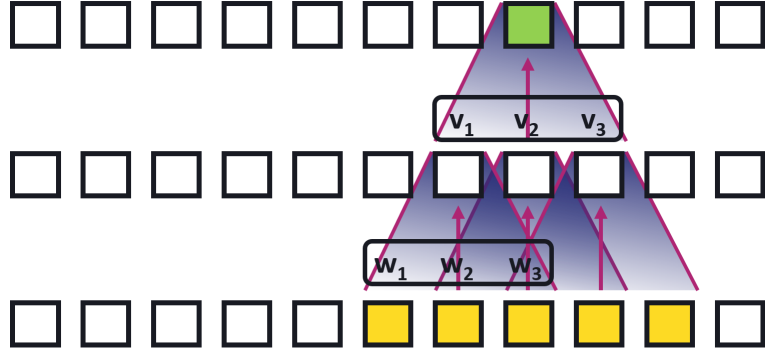


Figure 4.1 – Illustration d'une convolution 1D standard et de l'expansion hiérarchique du champ récepteur

La sortie $x_t^{(1)}$ est une fonction des entrées x_{t-1} à x_{t+1} . Lorsqu'une seconde couche définie par un filtre v de même support est appliquée sur cette représentation intermédiaire, elle opère selon le même principe d'invariance en translation :

$$h_t^{(2)} = v_1 x_{t-1}^{(1)} + v_2 x_t^{(1)} + v_3 x_{t+1}^{(1)}$$

$$x_t^{(2)} = \phi(h_t^{(2)})$$

La sortie $x_t^{(2)}$ est une fonction des entrées x_{t-2} à x_{t+2} . Ainsi, par simple composition algébrique, l'horizon d'interaction s'est étendu de 3 éléments (couche 1) à 5 éléments (couche 2). La profondeur du réseau agit donc comme un multiplicateur mécanique de l'horizon d'interaction, permettant de reconstruire des dépendances causales à longue portée à partir de règles de construction strictement locales et invariantes.

Au-delà de l'expansion de l'horizon d'interaction, la géométrie du support de convolution détermine la nature causale ou non du traitement, une caractéristique nécessaire pour la modélisation de systèmes dynamiques. La partie gauche de la figure 4.2 la configuration standard, dite convolution centrée. Pour calculer un élément de sortie y_4 à l'instant $t = 4$, le champ récepteur effectif (cône violet) agrège les informations d'un voisinage symétrique de l'entrée x , de x_2 à x_6 . Cette approche est naturelle pour l'analyse de données statiques (comme une image) ou le traitement de séquences complètes a posteriori, mais n'est pas adapté à la modélisation d'un système dynamique. Par exemple dans le cas de filtrage en ligne, le système ne peut physiquement pas accéder aux mesures futures pour débruiter les données du présent. Pour adapter l'architecture à ces contraintes temporelles strictes, on recourt à la convolution causale. Cette variante consiste à décaler le support du filtre de manière à ce que le voisinage d'interaction au temps t ne contienne aucun indice supérieur à t . L'exemple illustré sur la partie droite de la figure 4.2 assure que le cône d'influence de la sortie y_5 est alors strictement orienté vers le passé (x_1 à x_5). Dans cette configuration, le réseau conserve sa capacité d'extraction de motifs et de parallélisation, mais adopte une topologie d'interaction compatible avec la physique, simulant le comportement d'un système causal sans recourir à la mémoire récurrente.

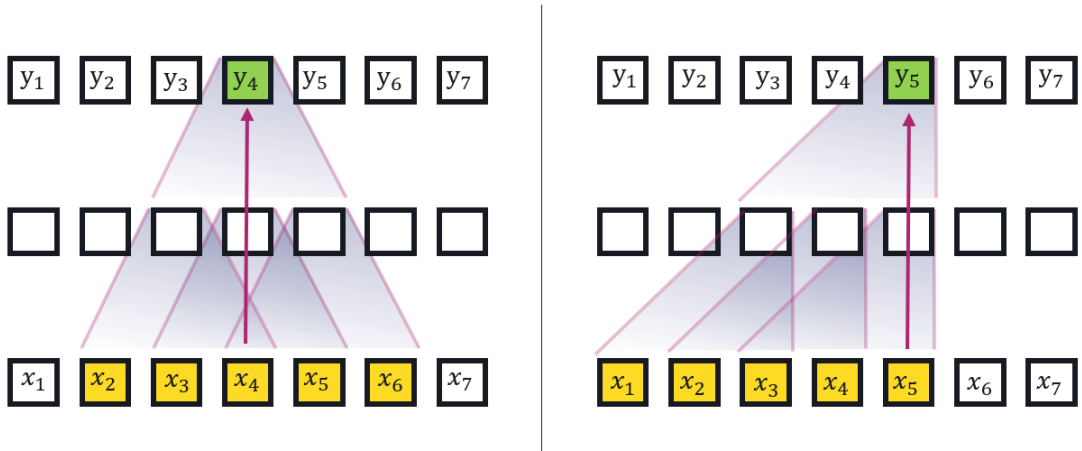


Figure 4.2 – Impact de la topologie du support de convolution sur la causalité temporelle : approche centrée (gauche) et approche causale (droite)

La convolution dans l'image : Une séquence spatiale 2D Dans le contexte de l'image, la séquence est bidimensionnelle et le CNN y opère une extraction hiérarchique. Les premières couches détectent des primitives simples comme des bords ou des textures, qui sont ensuite combinées pour former des motifs sémantiques complexes. Cette capacité d'abstraction a été poussée à son paroxysme par l'architecture VGG [46], qui a standardisé l'usage de filtres de très petite taille (3×3) empilés en grande profondeur. Les auteurs ont démontré qu'une séquence de petites convolutions est plus efficace pour capturer des non-linéarités complexes qu'une seule grande convolution. Cependant, l'augmentation de la profondeur a engendré des problèmes de disparition du gradient, résolus avec ResNet [47]. L'introduction de connexions résiduelles a permis d'entraîner des réseaux dépassant la centaine de couches, essentiels pour capturer les dépendances à très longue portée dans des images haute résolution. Pour les tâches de "traduction" d'image vers image, cruciales en simulation (par exemple, passer d'une carte de densité à un champ de pression), il est impératif de ne pas perdre l'information spatiale lors de la compression. L'architecture U-Net [48], initialement pour la segmentation biomédicale combine un chemin de contraction et un chemin d'expansion reliés par des connexions latérales (skip connections). Cette structure permet de générer une sortie de même résolution que l'entrée en fusionnant le contexte sémantique global et les détails locaux. Cette architecture est aujourd'hui une référence pour les modèles de substitution en physique. D'autres variantes comme DenseNet [49] ont poussé cette logique plus loin en connectant chaque couche à toutes les suivantes pour maximiser le flux d'information, bien que cela se fasse au prix d'une consommation mémoire accrue.

La convolution dans les séquences 1D (Texte, Audio, Séries Temporelles) Bien que souvent associés à l'image, les CNN se sont révélés extrêmement performants pour traiter des séquences unidimensionnelles, surpassant parfois les réseaux récurrents grâce à leur capacité

de parallélisation. Dans le traitement du signal audio, l'architecture WaveNet [50] a marqué une rupture en utilisant des convolutions causales dilatées. Ce mécanisme permet au champ récepteur du réseau de croître exponentiellement avec la profondeur sans augmenter le nombre de paramètres, capturant ainsi des dépendances temporelles sur des milliers de pas de temps, ce qui est impossible pour un RNN standard REF. Dans le domaine du traitement du langage naturel (NLP), cette logique a été appliquée avec succès à la traduction automatique. L'architecture ConvS2S [51] entièrement convolutionnelle pour la séquence à séquence, utilise des mécanismes d'attention multi-pas pour pondérer l'importance des mots sources. De même, ByteNet [52], réalise la traduction en temps linéaire en empilant des convolutions dilatées. Ces travaux ont démontré que l'induction de biais locaux propres aux convolutions est pertinente pour la syntaxe et la sémantique locale. Cette approche a été généralisée aux séries temporelles génératives sous le nom de Temporal Convolutional Networks (TCN) [53]. L'étude comparative démontre que sur une vaste gamme de tâches séquentielles, comme la prédiction de charge énergétique ou la modélisation de séquences symboliques, les TCN surpassent souvent les réseaux récurrents (LSTM/GRU) REF tout en offrant une stabilité d'entraînement supérieure. Une étude récente [54] prolonge ce constat en suggérant que des architectures convolutionnelles modernes pré-entraînées peuvent rivaliser avec les Transformers sur certaines tâches textuelles, soulignant la pertinence continue de ce paradigme.

Généralisation : La convolution au-delà des grilles euclidiennes Le principe de convolution, initialement restreint aux grilles régulières 1D ou 2D, a été généralisé pour traiter des structures de données complexes multidimensionnelles ou irrégulières, typiques de la simulation scientifique avancée. Une première extension naturelle concerne les données volumétriques (3D) et spatio-temporelles (Vidéo/4D). Pour l'analyse de vidéos ou de simulations dynamiques, C3D [55] utilise des filtres de convolution tridimensionnels (x, y, t) pour apprendre simultanément les caractéristiques spatiales et le mouvement temporel. Dans le domaine médical et physique, l'architecture V-Net [56] étend le principe du U-Net à la 3D, utilisant des noyaux volumétriques pour segmenter des structures dans l'espace tridimensionnel. Cependant, ces méthodes souffrent d'une complexité cubique qui limite souvent la résolution spatiale traitable. La généralisation la plus significative concerne les données non-euclidiennes, structurées sous forme de graphes. Dans une simulation physique lagrangienne (maillage non structuré) ou un système moléculaire, la notion de "voisinage" n'est pas définie par une grille mais par la topologie. Les Graph Convolutional Networks (GCN) [57], propose que l'opération de convolution devienne une agrégation spectrale ou spatiale des caractéristiques des noeuds voisins. Cette approche a été enrichie par des méthodes comme GraphSAGE [58], qui propose une convolution inductive capable de généraliser à des noeuds invisibles durant l'entraînement, essentielle pour les graphes dynamiques en simulation. Enfin, pour traiter des nuages de points 3D bruts (issus de LiDAR ou de scan), des architectures comme PointNet++ [59] appliquent des opérations de convolution hiérarchiques directement sur des ensembles de points désordonnés, permettant de traiter la géométrie 3D sans passer par une voxelisation coûteuse.

4.3.3 . Réseaux de neurones récurrents et Espaces d'Etats (RNN et SSM)

Si les réseaux de convolution abordent la séquence par une fenêtre glissante locale, une autre famille d'architectures adopte une approche intrinsèquement temporelle : la modélisation récursive. Qu'il s'agisse des Réseaux de Neurones Récurrents (RNN) historiques ou des récents Modèles d'Espaces d'États (SSM), le principe fondateur reste la persistance de l'information. Le modèle maintient un état caché interne h_t qui agit comme une mémoire compressée de tout l'historique passé, mise à jour à chaque nouvelle observation. Cette formulation est particulièrement naturelle pour la simulation physique, car elle mime la dynamique des systèmes causaux où l'état futur dépend de l'état présent et des forces appliquées.

Genèse et mécanismes d'interaction : De la boucle simple aux portes logiques

L'histoire de cette approche débute avec les RNN classiques [60] qui introduisent une boucle de rétroaction permettant au réseau de maintenir une trace du contexte temporel. Cependant, bien que ces réseaux parviennent à générer des séquences continues complexes comme de l'écriture manuscrite, ils souffrent d'une instabilité critique lors de l'entraînement : le problème de la disparition ou de l'explosion du gradient [32]. Sur de longues séquences, le signal d'erreur se dilue, empêchant l'apprentissage des causes lointaines d'un événement. Pour y remédier, le LSTM (Long Short-Term Memory) [61] propose des "cellules" mémoires protégées par des portes logiques, et peut choisir de retenir ou d'effacer une information sur des milliers de pas de temps. Cette capacité a été affinée par l'introduction du GRU [62], [63], une variante plus économique.

Mécanisme d'interaction : Récurrence et Mémoire d'État L'interaction fondamentale des architectures récurrentes (RNN) et des modèles d'espaces d'états (SSM) avec la séquence repose sur un principe de persistance de l'information, radicalement différent de la localité spatiale des convolutions. Au lieu d'agréger un voisinage statique, ces modèles introduisent une variable latente dynamique, l'état caché h_t , qui agit comme une mémoire compressée de l'historique causal. L'opération centrale n'est plus un filtrage, mais une mise à jour récursive : à chaque pas de temps, l'état courant est recalculé en fonction de l'état précédent et de la nouvelle observation. Mathématiquement, pour une séquence d'entrée x , cette dynamique s'exprime par une équation de transition d'état générique :

$$h_t = f(h_{t-1}, x_t; \theta)$$

où f est une fonction paramétrée par θ (matrices de poids dans un RNN, matrices d'état dans un SSM). Cette formulation implique que h_t ne dépend pas seulement de l'entrée locale x_t , mais indirectement de toute la trajectoire passée $\{x_0, \dots, x_t\}$ accumulée dans h_{t-1} . En pratique, cette dynamique de mise à jour est régie par un ensemble de paramètres apprenables qui sont partagés sur toute la longueur de la séquence, garantissant l'invariance temporelle du traitement. Ces paramètres se composent d'une matrice W_{ih} (Input-to-Hidden) qui projette l'entrée courante dans l'espace latent, d'une matrice W_{hh} (Hidden-to-Hidden) qui contrôle l'évolution de la mémoire interne, et d'un vecteur de biais b . En notant ϕ la fonction d'activation non-linéaire, l'équation de récurrence s'écrit pour notre exemple :

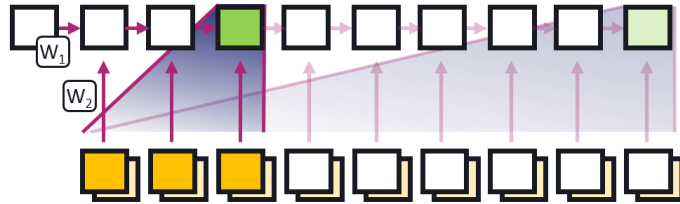


Figure 4.3 – Mécanisme fondamental de la récurrence et propagation de l'état mémoire

$$h_{t+1} = \phi(W_{ih}x_t + W_{hh}h_t + b)$$

L'illustration 4.3 permet de visualiser la propagation de la dépendance temporelle à travers le réseau. Le flux d'information, matérialisé par les flèches horizontales, transporte l'état caché d'un pas de temps à l'autre, agissant comme une mémoire cumulative. Ainsi, le calcul de l'état caché h_3 (représenté par le carré vert) intègre non seulement l'information de l'entrée courante, mais également celle de l'état caché précédent. Par récurrence, cette mémoire transporte déjà les traces des observations passées (x_1, x_2), créant un lien causal ininterrompu.

$$\begin{aligned} h_3 &= \phi(W_2x_2 + W_1h_2) \\ &= \phi(W_2x_2 + W_1\phi(W_2x_1 + W_1h_1)) \end{aligned}$$

Cette formulation met en évidence la différence fondamentale avec la convolution : alors que le champ récepteur d'un CNN s'élargit progressivement par empilement de couches, ici le cône d'influence (zone violette) s'étend horizontalement vers le passé de manière théoriquement infinie, capturant la totalité de l'historique causal disponible.

La persistance de l'état caché offre une flexibilité architecturale concernant la topologie des entrées-sorties et permet de découpler la lecture de l'écriture selon deux paradigmes distincts. Le mode "Flux à Flux" (ou Many-to-Many synchronisé), illustré à gauche dans la figure 4.4, aligne la production de la sortie sur la réception de l'entrée. À chaque pas de temps t , l'état caché h_t est utilisé immédiatement pour prédire une sortie y_t . Cette configuration, où la causalité est stricte et le délai minimal, est caractéristique des systèmes de filtrage en ligne ou de contrôle, où la réaction doit être instantanée. Le second mode, correspondant au paradigme "Séquence vers Séquence" (Seq2Seq), à droite dans la figure 4.4, nécessite d'opérer en deux phases distinctes. La phase d'encodage représenté en violet, ingurgite toutes les informations et les condense dans l'état caché h_5 . La phase de décodage récupère ce contexte pour générer la séquence de sortie. Ce mécanisme permet de transformer une séquence en une autre de longueur différente et de modéliser des dépendances non-monotones, mais impose que toute l'information pertinente soit compressée dans un goulot d'étranglement. C'est cette distinction topologique, plus que la nature des données, qui différencie fondamentalement l'usage des RNN pour le suivi de signal (mode flux) de leur usage pour la traduction (mode Seq2Seq).

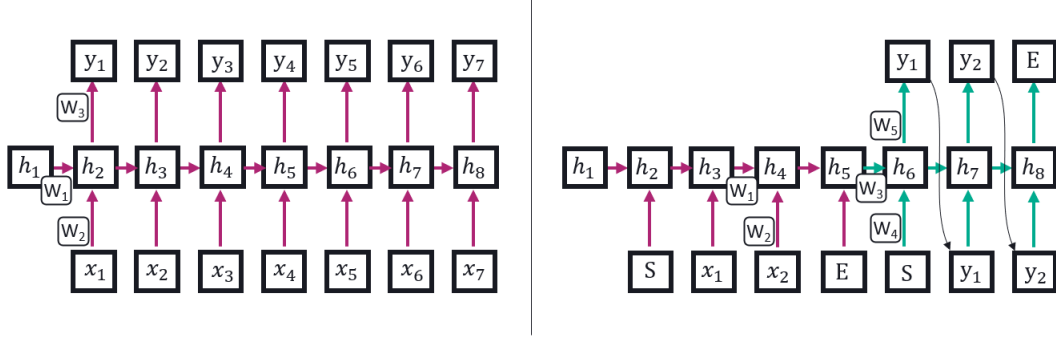


Figure 4.4 – Topologies d'application des architectures récurrentes : traitement de flux (gauche) et traduction globale (droite)

Renouveau architectural : Les Modèles d’Espaces d’Etats (SSM) Malgré leur robustesse, les LSTM conservent une limitation structurelle majeure : leur traitement séquentiel interdit la parallélisation sur GPU. C'est pour lever ce verrou qu'une nouvelle classe de modèles a émergé : les State Space Models (SSM). Ces modèles puisent leur origine théorique dans le papier HiPPO [64], qui formalise mathématiquement comment compresser optimalement une histoire continue dans un vecteur de taille fixe via des projections polynomiales orthogonales. Cette base a permis de développer S4 (Structured State Space sequence model) [65], capable de modéliser des dépendances sur plus de 10 000 pas de temps en résolvant une équation différentielle continue discrétisée. Cependant, les premiers SSM souffraient d'une rigidité dynamique, peinant à sélectionner l'information pertinente en fonction du contexte ("Content-based selection"). Cette limite a été adressée par l'architecture Mamba [66]. En rendant les matrices d'état dépendantes de l'entrée, Mamba atteint des performances comparables aux premiers Transformers REF tout en conservant une complexité linéaire. Toutefois, ces modèles restent délicats à stabiliser sur des dynamiques hautement chaotiques où la discrétisation numérique peut introduire des dérives.

Application au texte : L’ère du Sequence-to-Sequence et de la Traduction Dans le traitement du langage, l'approche récurrente a connu son apogée avec le paradigme Seq2Seq [67]. En utilisant deux LSTM (un encodeur et un décodeur), cette architecture a permis de traiter des séquences de longueurs variables. Cette avancée a transformé l'industrie de la traduction avec le déploiement du Google's Neural Machine Translation System (GNMT) [68] en 2016, réduisant les erreurs de traduction de près de 60 % par rapport aux systèmes statistiques. Au-delà de la traduction, ce paradigme a permis des avancées dans la modélisation prédictive de parcours complexes, comme l'illustre par le modèle Doctor AI [69]. Ce modèle utilise des RNN pour prédire les futurs diagnostics médicaux et la durée avant la prochaine visite à partir de l'historique clinique des patients, démontrant la capacité des RNN à capturer des dynamiques temporelles irrégulières et multivariées dans des données réelles bruitées.

Application aux systèmes temporels, physiques et créatifs Au-delà du texte, les RNN se sont imposés comme l'outil naturel pour la modélisation de systèmes dynamiques continus, un domaine crucial pour la simulation. Une étude sur la prévision de systèmes chaotiques [70] a mis en avant que les LSTM pouvaient apprendre la dynamique de l'attracteur de Lorenz ou de l'équation de Kuramoto-Sivashinsky mieux que les modèles physiques simplifiés, en capturant les propriétés non-linéaires de l'évolution temporelle à court terme. Cette capacité à modéliser le chaos déterministe fait des RNN des candidats sérieux pour accélérer les simulations de mécanique des fluides turbulents. Dans l'industrie, cette robustesse est exploitée pour la prévision probabiliste avec DeepAR [71], utilisé par Amazon pour sa chaîne logistique. Ce modèle apprend une distribution de probabilité future à chaque pas de temps, permettant de quantifier l'incertitude via des simulations de Monte Carlo. Enfin, la capacité "génération constructive" des RNN a été pionnière dans la création artistique. Le modèle Performance RNN [72], développé par Google Magenta, a montré qu'un LSTM pouvait générer des performances de piano expressives (avec nuances de vitesse et de timing) en traitant la musique non pas comme une partition rigide, mais comme une séquence temporelle continue d'événements, prouvant que les RNN peuvent capturer des structures hiérarchiques globales (phrasé musical) tout en gérant des détails micro-temporels.

4.3.4 . Transformer

Si les réseaux récurrents ont introduit la mémoire et les réseaux convolutionnels la localité, l'architecture Transformer a proposé un changement de paradigme radical en postulant que l'interaction entre les éléments d'une séquence doit être modélisée par une relation directe de contenu à contenu, et non par une contrainte de proximité spatiale ou temporelle. Cette architecture, devenue l'épine dorsale de l'IA générative moderne, repose sur le mécanisme d'attention.

Histoire : De l'alignement au "Pointer Network" et à l'Attention pure L'émergence du Transformer est le fruit d'une lente maturation visant à résoudre le goulot d'étranglement des architectures Encodeur-Décodeur récurrentes (RNN) REF. Dans le paradigme Seq2Seq classique [67], toute l'information de la phrase source devait être compressée dans un unique vecteur de contexte de taille fixe, entraînant une perte d'information critique sur les longues séquences. Une première solution [73] introduit un mécanisme d'attention additive permettant au décodeur de "chercher" (search) et d'aligner (align) les parties pertinentes de la phrase source à chaque étape de la génération. Ici, l'attention n'était encore qu'un module auxiliaire greffé sur des RNN. Une seconde étape conceptuelle fut franchie avec les Pointer Networks [74] où le réseau de neurones peut apprendre à résoudre des problèmes combinatoires (comme l'enveloppe convexe) en utilisant l'attention comme un pointeur pour sélectionner des éléments de l'entrée comme sortie, plutôt que de générer des symboles abstraits. Cela a ancré l'idée que le mécanisme de sélection basé sur le contenu ("Content-based addressing") était suffisamment puissant pour structurer la sortie. La rupture définitive survient avec l'article Attention Is All You Need [33]. Les auteurs ont démontré que la récurrence, jugée jusqu'alors indispensable pour encoder l'ordre séquentiel, était en réalité superflue et limitante pour la parallélisation. En ne

conservant que le mécanisme d'attention (devenu Self-Attention), ils ont permis un traitement parallèle massif des séquences, réduisant la distance de propagation de l'information entre deux mots quelconques à une constante $O(1)$, contre $O(N)$ pour un RNN.

Mécanisme d'interaction et complexité Contrairement aux architectures précédentes qui traitent la séquence par voisinage spatial ou récursivité temporelle, le Transformer repose sur un mécanisme d'interaction directe et globale : l'attention. Ce processus permet à chaque élément de la séquence de construire sa propre représentation en agrégeant l'information de tous les autres éléments, pondérée par leur pertinence contextuelle. Cette interaction est formalisée par le mécanisme "Query-Key-Value". Pour chaque élément d'entrée x_i , trois vecteurs sont générés par projection linéaire via des matrices de poids apprenables W^Q, W^K, W^V : une Requête $q_i = x_i W^Q$, une Clé $k_i = x_i W^K$ et une Valeur $v_i = x_i W^V$.

Le cœur du calcul réside dans la mesure de compatibilité entre ces vecteurs, appelé score d'attention. Pour construire une nouvelle représentation d'un élément x_i dans son contexte (c'est-à-dire le reste de la séquence), la requête associé q_i est comparée aux clés de chaque élément de la séquence $(k_j)_j$, formant une séquence de score d'attention $(a_j)_j$. Cette comparaison s'effectue souvent par un produit scalaire, mis à l'échelle par la racine de la dimension des clés d_{att} pour stabiliser les gradients. Le score d'attention brute a_j est généralement donné par :

$$a_j = \frac{\langle q_i, k_j \rangle}{\sqrt{d_{att}}}$$

Ces scores bruts sont ensuite convertis en une distribution de probabilité $(p_j)_j$ par l'application d'une fonction Softmax :

$$p_j = \text{softmax}((a_k)_k)_j = \frac{\exp(a_j)}{\sum_k \exp(a_k)}$$

La nouvelle représentation de x_i , notée y_i , est calculée comme une somme des vecteurs de Valeur $(v_j)_j$ pondérés par les poids d'attention $(p_j)_j$:

$$y_i = \sum_j p_j v_j$$

Il est intéressant de noter que l'opération d'attention est invariante par permutation (elle traite la séquence comme un ensemble, un "sac de mots"). Il est donc nécessaire d'injecter explicitement d'informations de position (Positional Encodings) a priori dans la séquence $(x_i)_i$ pour reconstruire la topologie temporelle ou spatiale de la donnée si elle n'y est pas présent initialement.

L'illustration 4.5 détaille le processus du calcul de la représentation contextuelle d'un élément cible x_4 (représenté en vert). Comme expliqué à l'instant, les éléments de la séquence sont projetés dans l'espace des requêtes, clés et valeurs, les scores d'attention sont calculés puis la pondération d'attention en est déduite et la nouvelle représentation de x_4 que nous notons y_4 ,

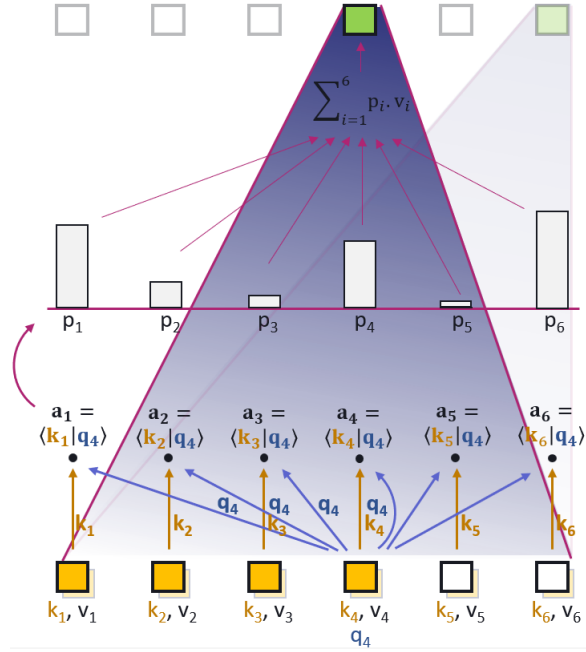


Figure 4.5 – Illustration du mécanisme d'Auto-Attention par produit scalaire

est calculée en effectuant une somme des valeurs pondérées par les poids d'attention :

$$\begin{aligned}
 q_4 &= x_4 W^Q, & k_j &= x_k W^K, & v_i &= x_i W^V \\
 a_j &= \frac{\langle q_4, k_j \rangle}{\sqrt{d_{att}}}, & p_j &= \frac{\exp(a_j)}{\sum_k \exp(a_k)}, & y_4 &= \sum_j p_j v_j
 \end{aligned}$$

Ainsi, le vecteur résultant y_4 est une synthèse dynamique du contenu de la séquence.

Le mécanisme canonique d'auto-attention se décline en deux variantes fondamentales pour répondre à des contraintes structurelles spécifiques : le respect de la causalité temporelle et l'intégration d'informations exogènes. La première variante, l'Attention Masquée (Masked Self-Attention), est indispensable aux tâches de génération séquentielle ou de simulation, où la prédiction de l'état présent ne doit physiquement pas dépendre du futur. Cette causalité est induite par une modification de la matrice des scores d'attention avant l'étape de normalisation : en forçant vers $-\infty$ les scores associés aux indices futurs, on garantit que la fonction Softmax leur attribue une probabilité strictement nulle. La partie gauche de la figure 4.6 illustre ce mécanisme : lors du calcul de la représentation pour la position 4 (carré vert), l'accès aux positions ultérieures 5 et 6 est bloqué par le masque. Le vecteur de sortie y_4 est ainsi construit exclusivement par l'agrégation des valeurs passées et présentes (v_1 à v_4), préservant l'intégrité causale du flux de données.

La seconde variante, l'Attention Croisée (Cross-Attention), permet le transfert d'information entre deux séquences distinctes, une opération centrale pour les tâches de traduction ou de

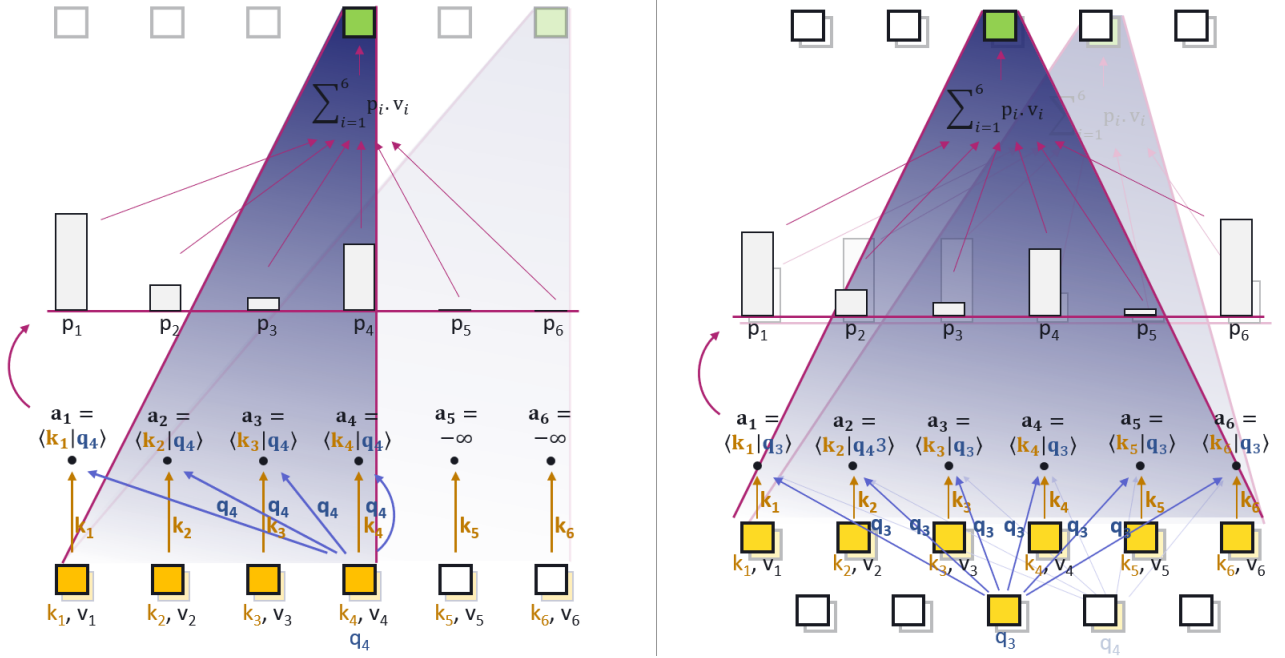


Figure 4.6 – Adaptations du mécanisme d'attention : restriction causale (gauche) et interaction inter-séquences (droite)

reconstruction conditionnelle. Cette architecture repose sur une distribution asymétrique des rôles : la séquence source (qui détient l'information) projette les Clés (K) et les Valeurs (V), tandis que la séquence cible (qui cherche à s'enrichir ou se construire) émet les Requêtes (Q). La partie droite de la figure 4.6 détaille cette interaction : la séquence du bas représente le flux cible, dont le troisième élément émet une requête q_3 . Celle-ci est comparée à l'ensemble des clés k issues de la séquence source (au milieu), permettant de pondérer les valeurs v_1 à v_6 correspondantes. Le vecteur résultant est donc une injection dynamique du contexte source pertinent au sein de la trajectoire cible, pilotée par les besoins de cette dernière.

L'expressivité du Transformer repose sur la parallélisation du mécanisme d'attention unitaire et son intégration dans différents blocs. Pour capturer des relations de natures variées (syntaxiques, sémantiques, ou causales par exemple) à différentes échelles, le modèle utilise l'Attention Multi-Têtes (Multi-Head Attention). Au lieu de calculer une unique matrice d'attention sur la dimension totale du modèle d_{model} , l'entrée est projetée linéairement h fois dans des sous-espaces de dimension réduite $d_{att} = d_{model}/h$. Chaque "tête" calcule sa propre attention indépendamment, permettant au réseau de se focaliser simultanément sur différents aspects de la séquence. Les sorties de ces h têtes sont ensuite concaténées et reprojetées par une matrice linéaire finale W^O pour restaurer la dimension originale. Mathématiquement, cela permet de recombiner les informations extraites de chaque sous-espace pour former une représentation unifiée.

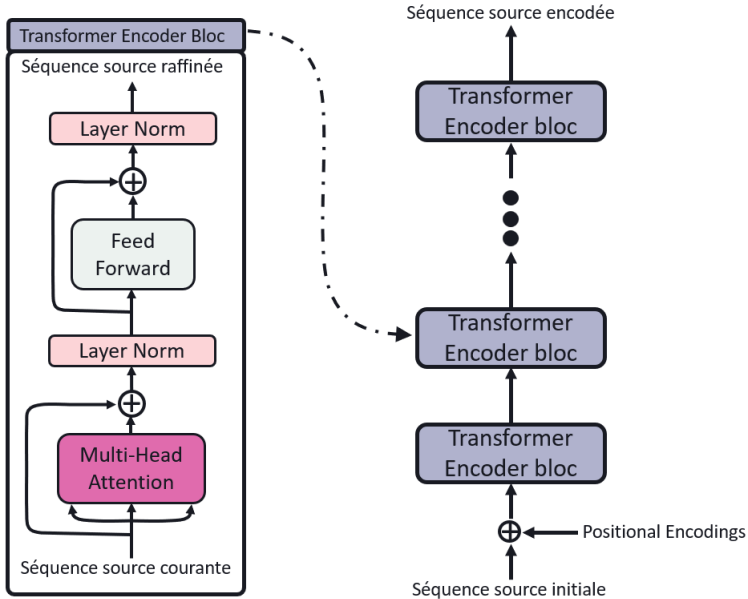


Figure 4.7 – Architecture du bloc Encodeur du Transformer

La illustration 4.7 présente l'architecture de l'Encodeur, dédiée à l'analyse et à la construction d'une représentation contextuelle robuste de la séquence d'entrée. Elle est constituée d'un empilement de N blocs identiques. Chaque bloc s'articule autour de deux sous-modules fonctionnels : l'Attention Multi-Têtes, qui capture les interactions globales entre les différentes positions, et un réseau de neurones dense (Feed-Forward Network - FFN) appliqué indépendamment à chaque position pour traiter les caractéristiques. Pour permettre de la profondeur au réseau, chaque sous-module est systématiquement encapsulé par une connexion résiduelle - qui additionne l'entrée du module à sa sortie pour préserver le flux de gradient - suivie d'une normalisation de couche (Layer Norm) assurant stabilité et une bonne propagation du gradient dans toutes les couches. Enfin, l'architecture étant invariante par permutation, l'ajout dès l'entrée d'un Encodage Positionnel est indispensable pour injecter la topologie temporelle ou spatiale dans les représentations vectorielles.

L'illustration 4.8 détaille l'architecture du Décodeur, conçue pour la génération autorégressive. Bien qu'elle hérite de la structure modulaire stratifiée de l'encodeur, elle s'en distingue par l'intégration dans chaque bloc de mécanismes spécifiques dédiés à la prédiction. Le premier module est une Attention Multi-Têtes Masquée (Masked Self-Attention). Ce composant permet aux éléments de la séquence cible d'assimiler exclusivement les informations des états antérieurs, garantissant le respect de la causalité temporelle nécessaire à la génération. Le décodeur se singularise ensuite par l'insertion d'un troisième sous-module, intercalé avant le FFN : l'Attention Croisée (Cross-Attention). Ce module est l'interface de conditionnement du modèle ;

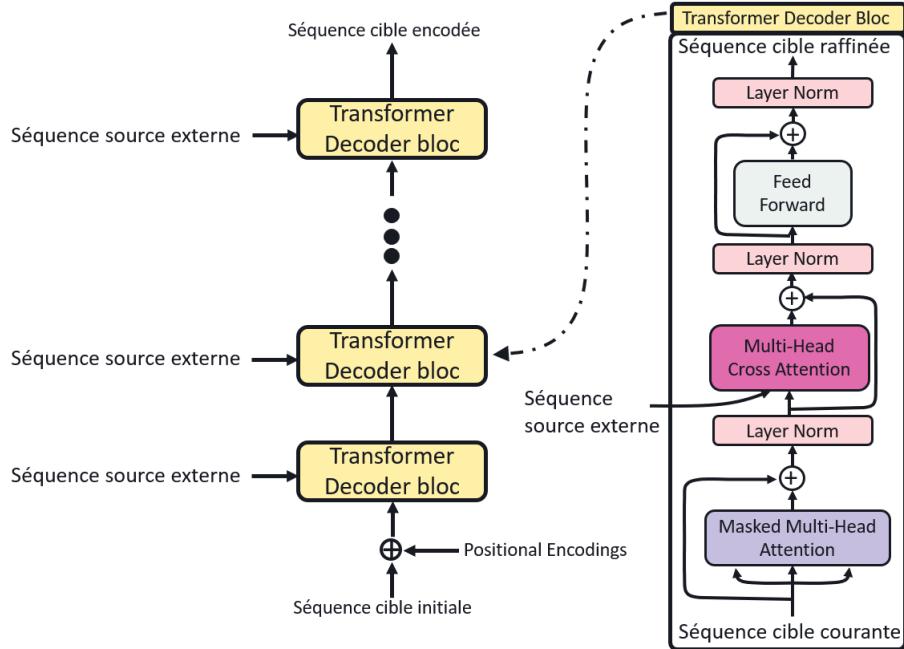


Figure 4.8 – Architecture du bloc Décodeur de Transformer

il incorpore à la séquence cible (qui fournit les requêtes Q) l’information contextuelle extraite d’une source externe (l’encodeur, qui fournit les clés K et les valeurs V). Chacun de ces trois sous-modules (Masked Self-Attention, Cross-Attention, FFN) est soumis au même schéma de stabilisation par connexion résiduelle et normalisation que l’encodeur, assurant une cohérence dynamique à travers tout le réseau.

Dans une configuration complète de type "Séquence vers Séquence" (Seq2Seq), telle que celle utilisée pour la traduction automatique ou la simulation physique, la sortie de la pile d’encodeurs est connectée à l’entrée source de la pile de décodeurs. Cette architecture bipartite, illustrée figure 4.9, permet de transformer une séquence d’entrée complexe (scénario tactique, signal bruité) en une représentation latente continue. À partir de cet espace, le décodeur reconstruit pas à pas la séquence de sortie cible (signal reconstruit), agissant ainsi comme un traducteur universel capable de modéliser des fonctions de transfert hautement non-linéaires entre des signaux de natures variées.

Le Transformer dans le texte : La divergence des architectures Dans le traitement du langage naturel (NLP), le Transformer a provoqué une véritable explosion cambrienne des modèles, se scindant en trois familles distinctes. La première, celle des Encodeurs, est incarnée par BERT [75]. Utilisant une attention bidirectionnelle, ces modèles excellent dans la compréhension et la classification, car chaque mot a accès au contexte passé et futur simultanément. La seconde, celle des Décodeurs, est dominée par la lignée GPT [34], [76]. Ici, l’attention est cau-

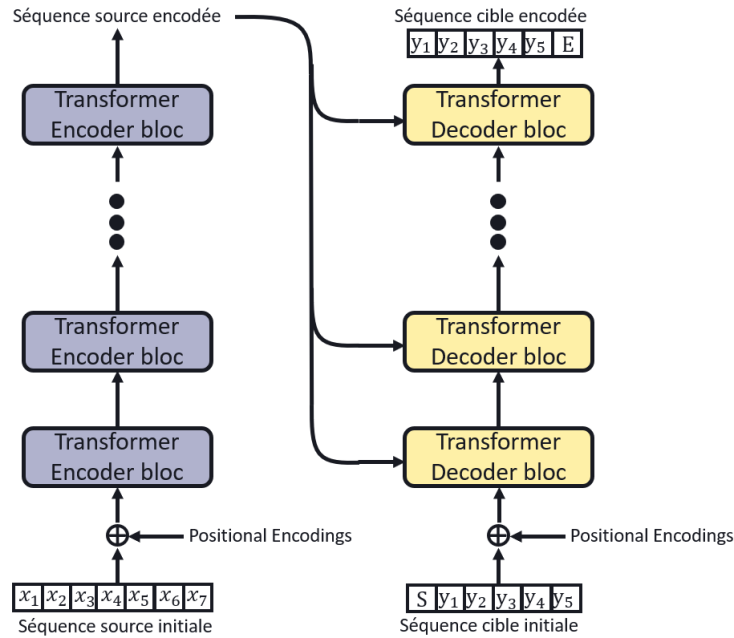


Figure 4.9 – Architecture Transformer complète pour le paradigme Séquence-vers-Séquence

sale (masquée vers le futur), optimisée pour la génération autorégressive. C'est cette branche qui a mis en évidence les "lois d'échelle" (Scaling Laws), montrant que la performance de prédiction du prochain token suit une loi de puissance en fonction du nombre de paramètres et de données, ouvrant la voie aux gros modèles de langage (Large Language Model - LLM) actuels. La troisième famille, Encodeur-Décodeur, reste fidèle à l'architecture originale [33] pour les tâches de traduction ou de résumé. Le modèle T5 [77] a poussé ce paradigme à son extrême en reformulant toute tâche NLP (y compris la classification) comme un problème de génération de texte-vers-texte.

Le Transformer dans les systèmes temporels : Promesses et controverses L'application des Transformers aux séries temporelles continues (consommation énergétique, trafic, météo) a fait l'objet de recherches intenses [78]. L'attrait principal réside dans la capacité théorique de l'attention à capturer des corrélations à très long terme et des saisonnalités complexes que les RNN peinent à retenir. Des architectures spécifiques ont été proposées pour briser la complexité quadratique. Informer [79] introduit une attention "ProbSparse" pour sélectionner uniquement les interactions dominantes, réduisant la complexité à $O(N \log N)$. Autoformer [80] va plus loin en remplaçant le produit scalaire par une auto-corrélation pour mieux capturer les périodicités. Cependant, l'efficacité réelle des Transformers sur des signaux continus est contestée. Une étude [81] assure qu'un simple modèle linéaire bien calibré (DLinear) surpasse souvent des Transformers complexes sur les benchmarks standards. La raison invoquée est que l'attention, conçue pour la sémantique discrète, tend à sur-interpréter le bruit dans les

signaux continus et perd l'information d'ordre temporel cruciale, malgré les encodages positionnels. Néanmoins, des approches récentes comme PatchTST [82], qui segmentent le signal en patchs (comme en vision) avant d'appliquer l'attention, semblent redonner l'avantage aux Transformers en traitant des dynamiques locales plutôt que des points isolés.

Le Transformer dans l'image : Patchs et hiérarchie L'hégémonie des CNN en vision a été remise en cause par le Vision Transformer (ViT) [36]. En découpant l'image en une séquence de patchs carrés traités comme des mots, ViT a prouvé qu'un Transformer pur, sans biais inductif de convolution, pouvait atteindre l'état de l'art, à condition d'être pré-entraîné sur des volumes de données massifs (JFT-300M, [83]). Pour pallier le coût quadratique sur les images haute résolution et le manque de localité, l'architecture Swin Transformer [84] a réintroduit une structure hiérarchique similaire aux CNN. En calculant l'attention uniquement à l'intérieur de fenêtres locales glissantes (Shifted Windows), Swin combine la modélisation globale des Transformers avec l'efficacité locale des convolutions, devenant le standard actuel pour la segmentation et la détection d'objets.

Généralisation : Physique et Prise de décision La capacité du Transformer à modéliser des graphes d'interaction arbitraires en fait un outil puissant pour la physique et la biologie. L'exemple le plus spectaculaire est AlphaFold 2 [85], qui a résolu le problème du repliement des protéines. Son module central, l'Evoformer, est une variante du Transformer qui traite la protéine comme un graphe dynamique, mettant à jour itérativement la représentation de la séquence d'acides aminés et la matrice de distances 3D par des mécanismes d'attention triangulaire. Enfin, dans le domaine du contrôle et de la simulation, le Decision Transformer [86] a reformulé l'apprentissage par renforcement comme un problème de modélisation de séquence. Au lieu d'estimer des fonctions de valeur ou des gradients de politique, ce modèle prédit simplement l'action suivante conditionnée par les états passés et la récompense désirée (le "Return-to-go"). Cette approche "générationnelle" du contrôle permet d'appliquer les techniques de pré-entraînement des LLM à la robotique ou à la navigation d'agents autonomes, unifiant ainsi perception, prédiction physique et prise de décision sous une même architecture.

4.3.5 . Ancrage dans la problématique

L'exploration des architectures de traitement de séquence met en lumière un éventail de mécanismes complémentaires pour la modélisation de notre simulateur de capteur, dont la pertinence doit être pondérée par les contraintes spécifiques des signaux radar. Les réseaux convolutionnels, par leur biais inductif de localité, offrent une approche adaptée pour modéliser les interactions à courte portée, telles que les interférences immédiates entre impulsions proches au sein d'un même train. Cependant, leur architecture à fenêtre glissante impose une limitation structurelle majeure : la difficulté à maintenir un état mémoire persistant sur des horizons temporels arbitrairement longs, ce qui peut s'avérer insuffisant pour reproduire fidèlement les processus de pistage temporel qui nécessitent de lier des événements très distants.

De leur côté, les architectures récurrentes (RNN) et les modèles d'espaces d'états (SSM) présentent une affinité naturelle avec la causalité physique du capteur, mimant le comportement des algorithmes de traitement du signal qui mettent à jour des pistes au gré des réceptions. Néanmoins, leur usage impliquerait un changement de paradigme par rapport à notre approche orientée "traduction". Ces modèles excellent dans le traitement séquentiel flux à flux, mais leur application à une tâche de transformation globale de séquence (Seq2Seq) sur de très longs scénarios est complexe. Le goulot d'étranglement du vecteur de contexte, censé compresser toute l'information de la séquence d'entrée avant la génération, devient rapidement prohibitif face à la densité des données radar, limitant leur capacité à reconstruire fidèlement l'ensemble du scénario en une seule passe.

Enfin, l'architecture Transformer et le mécanisme d'attention apportent une capacité de modélisation contextuelle globale, permettant à chaque impulsion d'interagir directement avec l'ensemble de la séquence. Cette propriété est puissante pour capturer des corrélations complexes non-locales et apprendre la fonction de transfert globale du simulateur sans les contraintes de compression des RNN. Toutefois, l'application de ce modèle exige une vigilance particulière quant à sa complexité quadratique, qui peut devenir prohibitive face à la haute densité des flux d'impulsions radar, ainsi qu'à la nécessité d'adapter l'encodage positionnel pour traiter le temps continu irrégulier des PDW plutôt que des indices discrets.

5 - AVERTISSEMENT

La composition de la page de couverture doit être respectée pour la diffusion de la thèse sur www.theses.fr et pour le dépôt légal de la thèse, qui est obligatoire pour l'obtention du diplôme ([cf. articles 24 et 25 de l'arrêté du 25 mai 2016 fixant le cadre national de la formation et les modalités conduisant à la délivrance du diplôme national de doctorat](#)).

Les consignes et les recommandations ci-après ont pour objet d'assurer une **homogénéité graphique** pour toutes les thèses soutenues à l'université Paris-Saclay et de les rendre **immédiatement reconnaissables**.

Elles ont également pour objet de donner un cadre de référence permettant d'éviter qu'un lecteur futur puisse avoir des **doutes sur la conformité de la thèse ou du jury**. L'université reçoit régulièrement des demandes d'informations, au sujet de thèses, pour lesquelles il y a des questionnements sur la conformité du jury ou bien des incohérences entre les informations qui figurent sur la couverture de la thèse, d'une part, et les méta-données de la thèse visibles sur www.theses.fr, d'autre part.

Il est rappelé que ces consignes et recommandations ne s'appliquent que pour le dépôt légal de la thèse et sa diffusion via le portail www.theses.fr. **Ce canal de diffusion n'est pas exclusif.** D'autres formats de page de couverture peuvent être librement utilisés par les auteurs sur d'autres canaux de diffusion (par exemple : pour afficher le nom et le logo d'une organisation qui aurait co-financé la thèse et pour la diffusion au sein de cette organisation), à condition que les informations requises pour la citation complète de la thèse de doctorat figurent. C'est-à-dire : au minimum : nom et prénom de l'auteur, titre de la thèse, date, lieu et établissement de soutenance (université Paris-Saclay et le cas échéant un établissement partenaire en cas de cotutelle internationale de thèse), ainsi que le logo de l'université Paris-Saclay et le cas échéant d'une université étrangère partenaire en cas de cotutelle internationale de thèse.

6 - COMPOSITION GÉNÉRALE, CHARTE GRAPHIQUE

6.1 . COMPOSITION DU DOCUMENT

Les deux premières pages sont consacrées aux informations institutionnelles.

Une troisième page peut être ajoutée pour compléter les informations institutionnelles réglementaires des deux premières pages. Par exemple, pour donner des informations sur l'organisme d'accueil ou financeur et afficher leurs logos, pour décrire brièvement un cadre partenarial, pour fournir les noms de personnalités invitées à siéger aux cotés du Jury pour la soutenance, pour afficher le logo du laboratoire etc.

La page des remerciements est alors placée en 3^eou 4^epage, selon qu'une 3^epage a été ajoutée ou non pour apporter ces compléments d'informations.

6.2 . QUELS LOGOS FAIRE FIGURER ?

Il ne doit figurer sur la **page de couverture de thèse**, aucun autre logo que le **logo de l'université Paris-Saclay** et, en cas de cotutelle internationale de thèse, le logo de l'université partenaire étrangère qui délivre également le diplôme de doctorat pour cette thèse.

Il ne doit figurer sur la **seconde page**, aucun autre logo que le **logo de l'école doctorale**. Les logos institutionnels en vigueur de l'université Paris-Saclay et des écoles doctorales sont fournis au paragraphe 7.2.

Les autres logos, comme celui du laboratoire, d'une entreprise, d'une composante, d'un établissement-composante, d'une université membre associée, d'un organisme de recherche ou de toute autre organisation partenaire de la thèse, peuvent être regroupés dans une troisième page intérieure, avant la page des remerciements, mais ne doivent pas figurer pas sur les deux premières pages.

6.3 . POLICES DE CARACTÈRES ET COULEURS

Les polices de caractère à utiliser sont : Open Sans ou Segoe UI ou Tahoma ou Ebrima. Il ne faut utiliser qu'**une seule police de caractère**.

Sur les 3 premières pages, seules deux couleurs de police sont utilisées, noir et prune (R : 99 V : 0 B : 60). Dans le reste du document, vous pouvez utiliser d'autres couleurs de police, si nécessaire, en veillant à ce qu'elles appartiennent à la palette de couleurs de la charte graphique de l'université Paris-Saclay. D'autres nuances de couleurs peuvent être utilisées parmi

RVB 99 0 60	RVB 49 62 72	RVB 124 135 143	RVB 213 218 223
RVB 198 11 70	RVB 237 20 91	RVB 238 52 35	RVB 243 115 32
RVB 124 42 144	RVB 125 106 175	RVB 198 103 29	RVB 254 188 24
RVB 0 78 125	RVB 14 135 201	RVB 0 148 181	RVB 70 195 210
RVB 0 128 122	RVB 64 183 105	RVB 140 198 62	RVB 213 223 61

Figure 6.1 – Palette de couleurs de la charte graphique

les nuances de la palette de l'UPSAclay.

La [charte graphique de l'Université](#) peut être téléchargée sur l'intranet pour plus d'information.

Sur la couverture de la thèse, le **titre** est en police normale de taille 20, de couleur prune et la **traduction du titre** est en police normale de taille 12, de couleur noire et en italique. Si le titre et sa traduction sont très longs, la police peut éventuellement être réduite, mais sans descendre en dessous d'une police 14 pour le titre et d'une police 10 pour la traduction du titre.

7 - INFORMATIONS GÉNÉRALES SUR LA PAGE DE COUVERTURE

Les informations figurant sur la page de couverture de la thèse doivent être cohérentes avec le diplôme et avec les métadonnées de la thèse sur le portail nationale des thèses www.theses.fr.

7.1 . TITRE DE LA THÈSE ET LANGUE(S)

Le **titre de la thèse** doit être fourni en **français** et en **anglais**. Par défaut, le titre est en français et la traduction du titre est en anglais. Cependant, lorsque la thèse est rédigée en anglais, le titre peut être fourni en anglais et la traduction en français.

Les affiliations (université de rattachement...) peuvent, le cas échéant, être fournies en anglais pour des membres étrangers du Jury. La langue par défaut restant le français.

Tous les autres éléments de la couverture de la thèse sont en français, les noms des entités (école doctorale, unité de recherche, référent etc.) ainsi que les titres des membres du jury (Professeur, Maître de Conférences etc.). Les correspondances entre titres étrangers et français peuvent être trouvées sur le site du ministère (GALAXIE)¹.

7.2 . SPÉCIALITÉ DE DOCTORAT

La spécialité de doctorat doit faire partie des spécialités pour lesquelles l'école doctorale est accréditée (en pratique : cela implique que vous devez pouvoir la sélectionner dans le menu déroulant des spécialités dans Adum).

La spécialité de doctorat retenue, via le menu déroulant dans Adum, sera celle qui figurera sur le diplôme.

Si votre spécialité n'apparaît pas, il faut contacter le directeur de votre école doctorale.

¹. https://www.galaxie.enseignementsup-recherche.gouv.fr/ensup/pdf/EC_pays_etrangers/Tableau_comparaison_au_26_septembre_2012.pdf

7.3 . UNITÉ DE RECHERCHE

L'unité de recherche dans laquelle la thèse a été préparée est précisée sur la couverture de la thèse. Le nom de l'unité est cité en respectant les règles de signature officielles, telles qu'elles ont été convenues entre les tutelles des unités de recherche liées à l'université Paris-Saclay.

Pour les trouver : il faut sélectionner votre unité de recherche via la barre de sélection depuis cette page web : <https://www.universite-paris-saclay.fr/fr/signature> et copier-coller l'adresse de l'unité de recherche sur la couverture de thèse. Puis mettre l'acronyme officiel en premier et le nom des tutelles ensuite, entre parenthèses, dans l'ordre où elles sont indiquées sur <https://www.universite-paris-saclay.fr/fr/signature>. Par exemple, pour IJCLab :

- Voici ce qu'on récupère par un copié-collé depuis l'adresse ci-dessus : « *Université Paris-Saclay, CNRS, IJCLab, 91405, Orsay, France* ».
- Voici comment faire la citation sur la couverture de thèse : « *IJCLab (Université Paris-Saclay, CNRS)* ».

Si la thèse a été préparée dans deux unités de recherche (travaux interdisciplinaires, cotutelle internationale, mobilité...) merci de citer les deux unités de recherche.

Si vous êtes doctorant de l'université Paris-Saclay mais ne trouvez pas votre unité dans la liste, votre unité ne fait probablement pas partie de l'université. Dans ce cas, et à défaut d'une recommandation commune entre l'université et votre unité, complétez la ligne "unité de recherche" de votre page de titre en suivant les recommandations de votre unité de recherche.

La mention de l'université Paris-Saclay comme établissement de soutenance de votre thèse sera automatique en utilisant le modèle de page de couverture de l'université Paris-Saclay.

7.4 . LE RÉFÉRENT

Les référents sont à choisir, en cohérence avec ce qui figure dans votre dossier d'inscription, parmi les composantes, établissements-composantes et universités membres associés de l'Université Paris-Saclay :

- Faculté de droit, économie et gestion,
- Faculté de médecine
- Faculté de pharmacie
- Faculté des sciences d'Orsay
- Faculté des sciences du sport
- AgroParisTech
- Institut d'Optique
- ENS Paris-Saclay
- CentraleSupélec
- Université de Versailles-Saint-Quentin-en-Yvelines

- Université d'Évry Val d'Essonne
- École Nationale d'Architecture de Versailles

7.5 . GRADUATE SCHOOL

La Graduate School est à choisir en cohérence avec votre sujet de thèse et ce qui figure dans votre dossier d'inscription, parmi la ou les Graduate Schools de l'Université Paris-Saclay de rattachement de votre école doctorale ou de votre pôle d'école doctorale :

- Biosphera
- Chimie
- Informatique et sciences du numérique
- Droit
- Économie - Management
- Géosciences, climat, environnement et planètes
- Humanités et Sciences du Patrimoine
- Life Sciences and Health
- Mathématiques
- Physique
- Santé et médicaments
- Santé publique
- Sciences de l'ingénierie et des systèmes
- Sociologie et Science Politique
- Sport, mouvement et facteurs humains

7.6 . ÉCOLE DOCTORALE

- n°127 : astronomie et astrophysique d'Île-de-France (AAIF)
- n°129 : sciences de l'environnement d'Île-de-France (SEIF)
- n°564 : physique en Île-de-France (PIF)
- n°566 : sciences du sport, de la motricité et du mouvement humain (SSMMH)
- n°567 : sciences du végétal : du gène à l'écosystème (SEVE)
- n°568 : signalisations et réseaux intégratifs en biologie (Biosigne)
- n°569 : innovation thérapeutique : du fondamental à l'appliqué (ITFA)
- n°570 : santé publique (EDSP)
- n°571 : sciences chimiques : molécules, matériaux, instrumentation et biosystèmes (2MIB)
- n°572 : ondes et matière (EDOM)
- n°573 : interfaces : matériaux, systèmes, usages (INTERFACES)
- n°574 : mathématiques Hadamard (EDMH)
- n°575 : electrical, optical, bio : physics and engineering (EOBE)
- n°576 : particules hadrons énergie et noyau : instrumentation, imagerie, cosmos et simulation (PHENIICS)
- n°577 : structure et dynamique des systèmes vivants (SDSV)

- n°579 : sciences mécaniques et énergétiques, matériaux et géosciences (SMEMaG)
- n°580 : sciences et technologies de l'information et de la communication (STIC)
- n°581 : agriculture, alimentation, biologie, environnement, santé (ABIES)
- n°582 : cancérologie : biologie - médecine - santé (CBMS)
- n°629 : Sciences sociales et humanités (SSH)
- n°630 : Droit, Économie, Management (DEM)

7.7 . LIEU ET DATE DE SOUTENANCE

Au moment de l'annonce de soutenance, le lieu et la date de soutenance, servent à donner au public toutes les informations nécessaires pour assister à la soutenance. Étant donné que les soutenances de doctorat doivent être publiques. Il faut donc une information détaillée permettant au public d'y accéder, précisant ainsi l'horaire de début de la soutenance, la salle, l'adresse physique en présentiel ou le lien d'accès à la salle virtuelle lorsque la soutenance se tient en visioconférence ou les deux.

En revanche, **pour la couverture de la thèse** et le dépôt légal de la thèse, le lieu et la date de soutenance ont une fonction « légale » : le lieu définit de quelle juridiction relève le dépôt légal de la thèse et la date est utile, par exemple pour définir l'antériorité ou la fin d'une période de confidentialité. L'information doit donc être donnée sous une forme beaucoup plus synthétique que dans l'annonce de soutenance.

Sur la couverture de la thèse, la date doit être fournie au format « **JJ Mois AAA** » et le lieu de soutenance est simplement la ville, la commune ou la communauté d'agglomérations où s'est tenue la soutenance. Lorsque la soutenance a eu lieu dans les locaux de l'université Paris-Saclay, le lieu à indiquer est celui de la communauté d'agglomérations où se trouve le siège de l'université Paris-Saclay, à savoir « **Paris-Saclay** », que la thèse ait eu lieu en présentiel ou en visioconférence.

Exemple : Thèse soutenue à Paris-Saclay, le 10 Mars 2021.

8 - CIVILITÉ, FÉMINISATION DES TITRES ET FONCTIONS

Il est recommandé de ne pas indiquer les civilités (Madame / Monsieur) ni pour le docteur ou la docteure, ni pour les membres du Jury ou de l'équipe d'encadrement.

Toutefois, si cette recommandation n'était pas suivie, il faudrait alors assurer l'homogénéité. La civilité devrait alors être précisée pour **toutes les personnes** qui figurent sur la couverture (docteur.e, membres du Jury ou de l'équipe d'encadrement) en utilisant les **mêmes conventions** pour tous (Madame / Monsieur ou Mme / M.)

Il est recommandé de féminiser les titres des membres du Jury ou de l'équipe d'encadrement (Professeur / Professeure, Maître ou Maîtresse de conférences etc.) ainsi que les fonctions tenues dans le Jury (examinateur / examinatrice ou Présidente / Présidente).

Pour « rapporteur », la forme féminine n'est pas recommandée faute de stabilisation. Si la personne concernée souhaitait la forme féminine, il faudrait alors lui demander de préciser la forme (« rapporteure » ou « rapporteuse »?) qu'elle préfère voir figurer sur la couverture.

9 - PRÉSENTATION DE LA DIRECTION DE LA THÈSE OU DE L'ÉQUIPE D'ENCADREMENT

Toutes les informations sur la direction de la thèse et l'équipe d'encadrement sont précisées sur la couverture de thèse (par exemple : directeur ou directrice de thèse, co-directeur ou codirectrice de thèse, co-encadrant ou co-encadrante, le cas échéant tuteur ou tutrice ou superviseur en entreprise).

Il faut également faire figurer lisiblement, à ce niveau, leur rôle vis-à-vis du doctorant ou de la doctorante et dans la préparation de la thèse.

Le directeur de thèse ou la directrice de thèse est cité en premier et est suivi, le cas échéant, des autres membres de l'équipe d'encadrement de la thèse, co-directeur ou co-directrice par ordre alphabétique puis des co-encadrantes et co-encadrantes par ordre alphabétique, puis tuteur ou tutrices par ordre alphabétique.

Le directeur ou la directrice de thèse et toute autre personne ayant participé à la direction scientifique des travaux et à l'encadrement du doctorant ou de la doctorante ne prend pas part à la décision de Jury de soutenance de doctorat. Ils et elles ne sont ni président, ni rapporteurs, ni examinateurs dans le Jury. Aucun membre de l'équipe d'encadrement de fait partie des membres du Jury avec voix délibérative.

Puisqu'ils et elles n'apparaissent pas via le Jury, il est essentiel que leur rôle soit précisé clairement et lisiblement, sur la couverture de la thèse et sur www.theses.fr pour leur rôle dans l'équipe de direction de la thèse. Les autres personnes qui ont pu contribuer significativement à la thèse sans faire partie de l'équipe d'encadrement, ni du Jury, sont signalées dans la page des remerciements.

10 - COMPOSITION DU JURY

La soutenance de la thèse est une évaluation. Les travaux de recherche de doctorat devant être originaux à l'échelle internationale, le Jury est composé sur mesure pour chaque docteur.e et chaque thèse de doctorat. La composition du Jury est essentielle, le doctorat est délivré par l'université, sous condition du dépôt légal de la thèse, sur avis conforme du Jury. **Le Jury est garant de la qualité de la thèse.**

Pour chacun des membres du Jury, il faut préciser le **titre**, **l'affiliation** et la **fonction dans le jury** sur la page de couverture.

10.1 . A QUOI SERVENT CES INFORMATIONS ?

Ces informations doivent permettre, au premier regard, de vérifier la **conformité de la composition** du Jury :

- sa **légitimité** académique pour se prononcer sur l'obtention du plus haut diplôme universitaire, le doctorat (le jury comprend au moins la moitié de professeurs et assimilés et, sauf dérogation, les membres du Jury sont tous eux-mêmes docteurs).
- sa capacité à se prononcer en toute **indépendance** (au moins la moitié d'externes, à l'établissement de soutenance, à l'école doctorale, à l'équipe d'encadrement, au projet doctoral).

10.2 . LÉGITIMITÉ ACADEMIQUE

Les **titres** des membres du Jury permettent de vérifier **qu'au moins la moitié des membres du Jury est professeur** des universités ou assimilé.

Les libellés exacts des titres français assimilés aux professeurs des universités (au moins la moitié du Jury) sont disponibles sur [legifrance](#).

Le **président du Jury** est obligatoirement professeur des universités ou assimilé¹.

1. **Arrêté du 15 juin 1992** fixant la liste des corps de fonctionnaires assimilés aux professeurs des universités et aux maîtres de conférences pour la désignation des membres du Conseil national des universités : <https://www.legifrance.gouv.fr/affichTexte.do?cidTexte=LEGITEXT000019860291>

Arrêté du 10 février 2011 relatif à la grille d'équivalence des titres, travaux et fonctions des enseignants-chercheurs mentionnée aux articles 22 et 43 du décret n° 84-431 du 6 juin 1984 fixant les dispositions statutaires communes applicables aux enseignants-chercheurs et portant statut particulier du corps des professeurs des universités et du corps des maîtres de conférences : https://www.galaxie.enseignementsup-recherche.gouv.fr/ensup/pdf/EC_pays_etrangers/Tableau_comparaison_au_26_septembre_2012.pdf

Si l'un des rapporteurs n'était pas professeur des universités ou assimilé, il faudrait alors préciser, en plus, qu'il dispose bien de l'HDR (par exemple : Maître de conférences, HDR).

10.3 . INDÉPENDANCE

Les affiliations permettent de vérifier que le Jury est bien en **majorité externe** à l'établissement de soutenance, à l'école doctorale et à l'équipe d'encadrement. Pour cela, le nom ou l'acronyme du laboratoire ne suffit pas, en revanche, le nom de l'université ou de l'établissement délivrant le doctorat de rattachement du membre du jury suffit. Il n'est pas utile de préciser certains détails comme l'adresse postale complète ou le pays.

Exemple d'affiliation inadaptée car ambiguë : « IJCLab »

Lorsque le membre du jury est un chercheur d'un organisme national, fournir le nom de son organisme de rattachement ne suffit pas pour juger de son extériorité (CNRS par exemple). Dans ce cas-là ou dans d'autres cas où il y aurait une incertitude de cette nature, susceptible de susciter des interrogations sur le fait qu'au moins la moitié des membres du Jury est externe, il est alors demandé de préciser, en plus, l'université ou l'établissement où ce chercheur inscrit habituellement ses propres doctorants.

Exemple d'affiliation inadaptée car ambiguë : « CNRS »

Exemple d'affiliation adaptée : « CNRS, Université de Toulouse »

Lorsqu'il s'agit d'une entreprise ou d'une fondation ou d'une organisation qui n'est pas en lien direct avec un établissement d'enseignement supérieur pour l'inscription de doctorants, il faut alors le préciser.

Par exemple : « Saint Gobain recherche, entreprise »

Par exemple : « Moveo, Pôle de compétitivité »

10.4 . FONCTION DANS LE JURY ET ORDRE DE CITATION

La fonction dans le Jury de chaque membre du Jury doit également être précisée sur la page de couverture.

Les fonctions possibles dans un Jury sont : président(e), examinateur ou examinatrice, rapporteur et directeur ou directrice de thèse.

10.4.1 . Ordre de citation

Le président du Jury est le premier de la liste. Il est immédiatement suivi des deux rapporteurs dans l'ordre alphabétique, puis des autres examinateurs dans l'ordre alphabétique.

Un membre du Jury peut avoir deux fonctions dans le Jury (par ex. rapporteur & examinateur).

10.4.2 . Les rapporteurs

Les rapporteurs participent à l'évaluation de la thèse et figurent donc sur la couverture de thèse, qu'ils soient présents ou non le jour de la soutenance.

Si un rapporteur était absent le jour de la soutenance, il figurera alors en tant que rapporteur seulement, sinon il figure à la fois en tant que rapporteur & examinateur. Lorsqu'un membre du Jury autre qu'un rapporteur, n'a pas pu participer au Jury de soutenance, physiquement ou bien en visioconférence, son nom ne figure pas sur la page de couverture de la thèse. Dans ce cas, il faut veiller à ce que la composition du Jury reste conforme, malgré l'absence du membre du Jury désigné. Cela peut demander de faire passer un membre interne en invité, par exemple.

11 - BIEN CITER SES SOURCES

La citation des sources fait partie intégrante du travail scientifique et participe de sa qualité et de son intégrité.

11.1 . S'INFORMER SUR LE PLAGIAT

Des mauvaises pratiques de citation peuvent conduire, même sans le vouloir, au plagiat. Le copier/coller, la paraphrase, la réutilisation d'images ou d'idées sans citer la source sont des situations de plagiat (n'hésitez pas à regarder cette courte vidéo sur les différentes formes de plagiat, volontaires ou non : <https://infotrack.unige.ch/comment-reconnaitre-les-cas-de-plagiat>)

Chaque discipline possède ses propres normes en termes de citation des sources. Renseignez-vous auprès de vos pairs pour connaître le style bibliographique et le style de citation à privilégier. Nous vous encourageons vivement à utiliser un logiciel de gestion bibliographique tel que Zotero. Vous pouvez retrouver des supports de formation à ce logiciel dans l'espace eCampus Doctorat, ouvert à tou·te·s sur auto-inscription : <https://ecampus.paris-saclay.fr/course/view.php?id=36678>

11.2 . LES IMAGES

Vous pouvez réutiliser dans votre thèse des images provenant d'articles ou de livres protégés par un copyright. Cela relève en effet de l'exception pédagogique, une des exceptions au droit d'auteur. Attention cependant, vous ne pouvez pas faire ce que vous voulez de cette image! La loi vous autorise à inclure jusqu'à 20 images (en 720 dpi) sans demander d'autorisation à l'auteur. En revanche, une autorisation est nécessaire à partir de la 21^eimage. Les sources des images doivent être mentionnées et aucune modification n'est autorisée.

Pour une présentation détaillée des différents cas d'utilisation d'images dans les thèses et les travaux universitaires, voir : <https://ethiquedroit.hypotheses.org/2947>

11.3 . ARTICLES JOINTS A LA THÈSE

Vous pouvez joindre vos articles à votre thèse. Toutefois, si votre thèse est diffusée en ligne (tout de suite après la soutenance, après un embargo ou après une période de confidentialité), il convient de s'assurer que vous respectez bien les politiques des éditeurs. En effet, tous n'autorisent pas la diffusion en accès libre de la version éditeur des articles. Utilisez [Sherpa Romeo](#) pour connaître la politique des éditeurs.

Selon la [Loi pour une république numérique](#), si votre recherche est financée à au moins 50% par des fonds publics français, vous avez le droit, en tant qu'auteur, de diffuser la version acceptée de l'article (mais sans la mise en pages de l'éditeur) au bout de 6 mois après publication pour les articles en sciences, techniques et médecine et 12 mois pour les articles en sciences humaines et sociales. Et ce quelque soit la politique éditoriale de l'éditeur.

Pour plus d'informations sur cette question, consultez la section « Déposer dans une archive ouverte » du [Passeport pour la science ouverte](#).

12 - DÉPOSER ET DIFFUSER SA THÈSE

La thèse fait l'objet d'un dépôt légal, en deux étapes, avant la remise du manuscrit aux rapporteurs et après la soutenance, qui protège le droit d'auteur du docteur.

Elle fait ensuite l'objet d'une diffusion sur le portail national des thèses www.theses.fr et le portail européen des thèses DART-Europe, sauf si la thèse présente un caractère confidentiel avéré.

12.1 . LES RESSOURCES A CONSULTER

- [Je publie, Quels sont mes droits ?](#)
- Le cadre réglementaire du [dépôt légal](#) sur Légifrance

12.2 . LES DÉMARCHES

Retrouvez le détail des démarches du dépôt de thèse dans cette [fiche explicative](#)

Si la thèse présente un caractère confidentiel avéré, le classement confidentiel de la thèse et, si nécessaire, une dérogation au caractère public de la soutenance (huis-clos) peuvent être [demandés au chef d'établissement](#).

13 - ANNEXE : LES LOGOS INSTITUTIONNELS

13.1 . LE LOGO DE L'UNIVERSITÉ PARIS-SACLAY



13.2 . LOGOS, NUMÉROS D'ACCREDITATION ET DÉNOMINATIONS DES ÉCOLES DOCTORALES

- ❖ n°127 : astronomie et astrophysique d'Île-de-France (AAIF)



- ❖ n°129 : sciences de l'environnement d'Île-de-France (SEIF)



- ❖ n°564 : physique en Île-de-France (PIF)



- ❖ n°566 : sciences du sport, de la motricité et du mouvement humain (SSMMH)



❖ n°567 : sciences du végétal : du gène à l'écosystème (SEVE)



ÉCOLE DOCTORALE

Sciences du végétal:
du gène à l'écosystème
(SEVE)

❖ n°568 : signalisations et réseaux intégratifs en biologie (Biosigne)



ÉCOLE DOCTORALE

Signalisations et réseaux
intégratifs en biologie
(BIOSIGNE)

❖ n°569 : innovation thérapeutique : du fondamental à l'appliqué (ITFA)



ÉCOLE DOCTORALE

Innovation thérapeutique
du fondamental à l'appliqué
(ITFA)

❖ n°570 : santé publique (EDSP)



ÉCOLE DOCTORALE

Santé Publique
(EDSP)

❖ n°571 : sciences chimiques : molécules, matériaux, instrumentation et bio-systèmes (2MIB)



ÉCOLE DOCTORALE

Sciences Chimiques: Molécules,
Matériaux, Instrumentation
et Biosystèmes (2MIB)

❖ n°572 : ondes et matière (EDOM)



ÉCOLE DOCTORALE

Ondes et matière
(EDOM)

❖ n°573 : interfaces : matériaux, systèmes, usages (INTERFACES)



ÉCOLE DOCTORALE
Interfaces:
matériaux, systèmes, usages

❖ n°574 : mathématiques Hadamard (EDMH)



ÉCOLE DOCTORALE
de mathématiques
Hadamard (EDMH)

❖ n°575 : electrical, optical, bio : physics and engineering (EOBE)



ÉCOLE DOCTORALE
Physique et ingénierie:
Electrons, Photons,
Sciences du vivant (EOBE)

❖ n°576 : particules hadrons énergie et noyau : instrumentation, imagerie, cosmos et simulation (PHENIICS)



ÉCOLE DOCTORALE
Particules, hadrons, énergie et noyau:
instrumentation, imagerie, cosmos
et simulation (PHENIICS)

❖ n°577 : structure et dynamique des systèmes vivants (SDSV)



ÉCOLE DOCTORALE
Structure et dynamique
des systèmes vivants
(SDSV)

❖ n°579 : sciences mécaniques et énergétiques, matériaux et géosciences (SMEMaG)



ÉCOLE DOCTORALE
Sciences mécaniques et
énergétiques, matériaux
et géosciences (SMEMAG)

- ❖ n°580 : sciences et technologies de l'information et de la communication (STIC)



ÉCOLE DOCTORALE

Sciences et technologies
de l'information et de
la communication (STIC)

- ❖ n°581 : agriculture, alimentation, biologie, environnement, santé (ABIES)



ÉCOLE DOCTORALE

Agriculture, alimentation,
biologie, environnement,
santé (ABIES)

- ❖ n°582 : Cancérologie : biologie - médecine - santé (CBMS)



ÉCOLE DOCTORALE

Cancérologie: biologie -
médecine - santé (CBMS)

- ❖ n°629 : Sciences sociales et humanités (SSH)



ÉCOLE DOCTORALE

Sciences Sociales
et Humanités (SSH)

- ❖ n°630 : Droit, Économie, Management (DEM)



ÉCOLE DOCTORALE

Droit, Économie,
Management (DEM)

Bibliographie

- [1] Michael Grieves. "Digital twin : manufacturing excellence through virtual factory replication". In : *White paper 1.2014* (2014), p. 1-7.
- [2] Elisa Negri, Luca Fumagalli et Marco Macchi. "A review of the roles of digital twin in CPS-based production systems". In : *Procedia manufacturing 11* (2017). Publisher : Elsevier, p. 939-948. url : <https://www.sciencedirect.com/science/article/pii/S2351978917304067> (visité le 26/11/2025).
- [3] Alexey Dosovitskiy et al. "CARLA : An open urban driving simulator". In : *Conference on robot learning*. PMLR, 2017, p. 1-16. url : <https://proceedings.mlr.press/v78/dosovitskiy17a.html> (visité le 26/11/2025).
- [4] Fei Tao et al. "Digital twin in industry : State-of-the-art". In : *IEEE Transactions on industrial informatics 15.4* (2018). Publisher : IEEE, p. 2405-2415. url : <https://ieeexplore.ieee.org/abstract/document/8477101/> (visité le 26/11/2025).
- [5] William R. Sherman et Alan B. Craig. *Understanding virtual reality : Interface, application, and design*. Morgan Kaufmann, 2018. url : <https://books.google.com/books?hl=fr&lr=&id=D-0cBAAAQBAJ&oi=fnd&pg=PP1&dq=Understanding+Virtual+Reality++Interface,+Application,+and+Design&ots=QT0icdfR4U&sig=7NVN02ZhXIV7ehae-by0E-2w5u0> (visité le 26/11/2025).
- [6] Peter Fritzson. *Principles of object-oriented modeling and simulation with Modelica 3.3 : a cyber-physical approach*. John Wiley & Sons, 2015. url : https://books.google.com/books?hl=fr&lr=&id=wgIaBgAAQBAJ&oi=fnd&pg=PR13&dq=Principles+of+Object-Oriented+Modeling+and+Simulation+with+Modelica&ots=cZ60scKEkN&sig=SxTVWzN56d47byaUV61_Qq0vZoE (visité le 26/11/2025).
- [7] Greg Brockman et al. *OpenAI Gym*. 5 juin 2016. doi : 10.48550/arXiv.1606.01540. arXiv : 1606.01540[cs]. url : <http://arxiv.org/abs/1606.01540> (visité le 26/11/2025).
- [8] Ben Mildenhall et al. "NeRF : representing scenes as neural radiance fields for view synthesis". In : *Communications of the ACM* 65.1 (jan. 2022), p. 99-106. issn : 0001-0782, 1557-7317. doi : 10.1145/3503250. url : <https://dl.acm.org/doi/10.1145/3503250> (visité le 26/11/2025).

- [9] Thomas Müller et al. "Instant neural graphics primitives with a multiresolution hash encoding". In : *ACM Transactions on Graphics* 41.4 (juill. 2022), p. 1-15. issn : 0730-0301, 1557-7368. doi : [10.1145/3528223.3530127](https://doi.acm.org/doi/10.1145/3528223.3530127). url : <https://dl.acm.org/doi/10.1145/3528223.3530127> (visité le 26/11/2025).
- [10] Bernhard Kerbl et al. "3D Gaussian splatting for real-time radiance field rendering." In : *ACM Trans. Graph.* 42.4 (2023), p. 139-1. url : [https://sgvr.kaist.ac.kr/~sungeui/ICG_F23/Students/\[CS482\]/%203D%20Gaussian%20Splatting%20for%20Real-Time%20Radiance%20Field%20Rendering.pdf](https://sgvr.kaist.ac.kr/~sungeui/ICG_F23/Students/[CS482]/%203D%20Gaussian%20Splatting%20for%20Real-Time%20Radiance%20Field%20Rendering.pdf) (visité le 26/11/2025).
- [11] Ben Poole et al. *DreamFusion: Text-to-3D using 2D Diffusion*. 29 sept. 2022. doi : [10.48550/arXiv.2209.14988](https://arxiv.org/abs/2209.14988). arXiv : [2209.14988\[cs\]](https://arxiv.org/abs/2209.14988). url : [http://arxiv.org/abs/2209.14988](https://arxiv.org/abs/2209.14988) (visité le 26/11/2025).
- [12] Zhengyi Wang et al. "Prolificdreamer : High-fidelity and diverse text-to-3d generation with variational score distillation". In : *Advances in neural information processing systems* 36 (2023), p. 8406-8441. url : https://proceedings.neurips.cc/paper_files/paper/2023/hash/1a87980b9853e84dfb295855b425c262-Abstract-Conference.html (visité le 26/11/2025).
- [13] Alvaro Sanchez-Gonzalez et al. "Learning to simulate complex physics with graph networks". In : *International conference on machine learning*. PMLR, 2020, p. 8459-8468. url : <https://proceedings.mlr.press/v119/sanchez-gonzalez20a> (visité le 26/11/2025).
- [14] Maziar Raissi, Paris Perdikaris et George E. Karniadakis. "Physics-informed neural networks : A deep learning framework for solving forward and inverse problems involving nonlinear partial differential equations". In : *Journal of Computational physics* 378 (2019). Publisher : Elsevier, p. 686-707. url : <https://www.sciencedirect.com/science/article/pii/S0021999118307125> (visité le 26/11/2025).
- [15] Samuel Greydanus, Misko Dzamba et Jason Yosinski. "Hamiltonian neural networks". In : *Advances in neural information processing systems* 32 (2019). url : <https://proceedings.neurips.cc/paper/2019/hash/26cd8ecadce0d4efd6cc8a8725cbd1f8-Abstract.html> (visité le 26/11/2025).
- [16] Zongyi Li et al. *Fourier Neural Operator for Parametric Partial Differential Equations*. 17 mai 2021. doi : [10.48550/arXiv.2010.08895](https://arxiv.org/abs/2010.08895). arXiv : [2010.08895\[cs\]](https://arxiv.org/abs/2010.08895). url : [http://arxiv.org/abs/2010.08895](https://arxiv.org/abs/2010.08895) (visité le 26/11/2025).

- [17] David Silver et al. "Mastering the game of go without human knowledge". In : *nature* 550.7676 (2017). Publisher : Nature Publishing Group UK London, p. 354-359. url : https://idp.nature.com/authorize/casa?redirect_uri=https://www.nature.com/articles/nature24270&casa_token=uxVzaLwHPRIAAAAA:ABf8yG3mit_-tnl5ZCgrjrpH2A_BCl8nsu5zAdIGdvnCQ2HUA0cQqPyuGJEWgDg4MSMrH4DvTYUcfmSITqw (visité le 26/11/2025).
- [18] Christopher R. DeMay et al. "Alphadogfight trials : Bringing autonomy to air combat". In : *Johns Hopkins APL Technical Digest* 36.2 (2022), p. 154-163. url : <https://secwww.jhuapl.edu/techdigest/Content/techdigest/pdf/V36-N02/36-02-DeMay.pdf> (visité le 26/11/2025).
- [19] Josh Tobin et al. "Domain randomization for transferring deep neural networks from simulation to the real world". In : *2017 IEEE/RSJ international conference on intelligent robots and systems (IROS)*. IEEE, 2017, p. 23-30. url : <https://ieeexplore.ieee.org/abstract/document/8202133/> (visité le 26/11/2025).
- [20] Rui Wang et al. *Paired Open-Ended Trailblazer (POET) : Endlessly Generating Increasingly Complex and Diverse Learning Environments and Their Solutions*. 21 fév. 2019. doi : [10.48550/arXiv.1901.01753](https://doi.org/10.48550/arXiv.1901.01753). arXiv : [1901.01753\[cs\]](https://arxiv.org/abs/1901.01753). url : <http://arxiv.org/abs/1901.01753> (visité le 26/11/2025).
- [21] Diederik P. Kingma et Max Welling. "Auto-encoding variational bayes". In : *arXiv preprint arXiv:1312.6114* (2013). url : https://indico.math.cnrs.fr/event/11377/attachments/4589/6915/18012024_Kingma-and-Welling-2022%20Auto-Encoding%20Variational%20Bayes.pdf (visité le 26/11/2025).
- [22] Kihyuk Sohn, Honglak Lee et Xinchen Yan. "Learning structured output representation using deep conditional generative models". In : *Advances in neural information processing systems* 28 (2015). url : <https://proceedings.neurips.cc/paper/2015/hash/8d55a249e6baa5c06772297520da2051-Abstract.html> (visité le 26/11/2025).
- [23] Ali Razavi, Aaron Van den Oord et Oriol Vinyals. "Generating diverse high-fidelity images with vq-vae-2". In : *Advances in neural information processing systems* 32 (2019). url : <https://proceedings.neurips.cc/paper/2019/hash/5f8e2fa1718d1bbcadf1cd9c7a54fb8c-Abstract.html> (visité le 26/11/2025).

- [24] David Ha et Jürgen Schmidhuber. "World models". In : *arXiv preprint arXiv :1803.10122* 2.3 (2018). url : https://www.cl.cam.ac.uk/~ey204/teaching/ACS/R244_2024_2025/presentation/S6/WM_Edmund.pdf (visité le 26/11/2025).
- [25] Ian Goodfellow et al. "Generative adversarial networks". In : *Communications of the ACM* 63.11 (22 oct. 2020), p. 139-144. issn : 0001-0782, 1557-7317. doi : [10.1145/3422622](https://doi.org/10.1145/3422622). url : <https://doi.org/10.1145/3422622> (visité le 26/11/2025).
- [26] Shakir Mohamed et Balaji Lakshminarayanan. *Learning in Implicit Generative Models*. 27 fév. 2017. doi : [10.48550/arXiv.1610.03483](https://doi.org/10.48550/arXiv.1610.03483). arXiv : [1610.03483\[stat\]](https://arxiv.org/abs/1610.03483). url : [http://arxiv.org/abs/1610.03483](https://arxiv.org/abs/1610.03483) (visité le 26/11/2025).
- [27] Phillip Isola et al. "Image-to-image translation with conditional adversarial networks". In : *Proceedings of the IEEE conference on computer vision and pattern recognition*. 2017, p. 1125-1134. url : http://openaccess.thecvf.com/content_cvpr_2017/html/Isola_Image-To-Image_Translation_With_CVPR_2017_paper.html (visité le 26/11/2025).
- [28] You Xie et al. "tempoGAN : a temporally coherent, volumetric GAN for super-resolution fluid flow". In : *ACM Transactions on Graphics* 37.4 (31 août 2018), p. 1-15. issn : 0730-0301, 1557-7368. doi : [10.1145/3197517.3201304](https://doi.org/10.1145/3197517.3201304). url : <https://doi.org/10.1145/3197517.3201304> (visité le 26/11/2025).
- [29] Jascha Sohl-Dickstein et al. "Deep unsupervised learning using nonequilibrium thermodynamics". In : *International conference on machine learning*. pmlr, 2015, p. 2256-2265. url : <http://proceedings.mlr.press/v37/sohl-dickstein15.html> (visité le 26/11/2025).
- [30] Jonathan Ho, Ajay Jain et Pieter Abbeel. "Denoising diffusion probabilistic models". In : *Advances in neural information processing systems* 33 (2020), p. 6840-6851. url : <https://proceedings.neurips.cc/paper/2020/hash/4c5bcfec8584af0d967f1ab10179ca4b-Abstract.html> (visité le 26/11/2025).
- [31] Jiaming Song, Chenlin Meng et Stefano Ermon. *Denoising Diffusion Implicit Models*. 5 oct. 2022. doi : [10.48550/arXiv.2010.02502](https://doi.org/10.48550/arXiv.2010.02502). arXiv : [2010.02502\[cs\]](https://arxiv.org/abs/2010.02502). url : [http://arxiv.org/abs/2010.02502](https://arxiv.org/abs/2010.02502) (visité le 26/11/2025).
- [32] Alex Graves. *Generating Sequences With Recurrent Neural Networks*. 5 juin 2014. doi : [10.48550/arXiv.1308.0850](https://doi.org/10.48550/arXiv.1308.0850). arXiv : [1308.0850\[cs\]](https://arxiv.org/abs/1308.0850). url : [http://arxiv.org/abs/1308.0850](https://arxiv.org/abs/1308.0850) (visité le 27/11/2025).

- [33] Ashish Vaswani et al. "Attention is all you need". In : *Advances in neural information processing systems* 30 (2017). url : <https://proceedings.neurips.cc/paper/2017/hash/3f5ee243547dee91fdb053c1c4a845aa-Abstract.html> (visité le 26/11/2025).
- [34] Alec Radford et al. "Improving language understanding by generative pre-training". In : (2018). Publisher : San Francisco, CA, USA. url : <https://www.mikecaptain.com/resources/pdf/GPT-1.pdf> (visité le 26/11/2025).
- [35] Scott Reed et al. *A Generalist Agent*. 11 nov. 2022. doi : [10.48550/arXiv.2205.06175\[cs\]](https://doi.org/10.48550/arXiv.2205.06175). url : <http://arxiv.org/abs/2205.06175> (visité le 26/11/2025).
- [36] Alexey Dosovitskiy. "An image is worth 16x16 words : Transformers for image recognition at scale". In : *arXiv preprint arXiv:2010.11929* (2020). url : <https://files.ryancopley.com/Papers/2010.11929v2.pdf> (visité le 26/11/2025).
- [37] Claude E. Shannon. "A mathematical theory of communication". In : *The Bell system technical journal* 27.3 (1948). Publisher : Nokia Bell Labs, p. 379-423. url : <https://ieeexplore.ieee.org/abstract/document/6773024/> (visité le 01/12/2025).
- [38] George EP Box et al. *Time series analysis : forecasting and control*. John Wiley & Sons, 2015. url : <https://books.google.com/books?hl=fr&lr=&id=rNt5CgAAQBAJ&oi=fnd&pg=PR7&dq=Time+Series+Analysis+:+Forecasting+and+Control&ots=DL73yTjVXD&sig=ww98YPoC8MLPySQkm3Vsc01CtKI> (visité le 01/12/2025).
- [39] Aäron Van Den Oord, Nal Kalchbrenner et Koray Kavukcuoglu. "Pixel recurrent neural networks". In : *International conference on machine learning*. PMLR, 2016, p. 1747-1756. url : <https://proceedings.mlr.press/v48/oord16.html> (visité le 01/12/2025).
- [40] David G. Lowe. "Distinctive Image Features from Scale-Invariant Keypoints". In : *International Journal of Computer Vision* 60.2 (1^{er} nov. 2004), p. 91-110. issn : 1573-1405. doi : [10.1023/B:VISI.0000029664.99615.94](https://doi.org/10.1023/B:VISI.0000029664.99615.94). url : <https://doi.org/10.1023/B:VISI.0000029664.99615.94> (visité le 26/11/2025).
- [41] Herbert Bay, Tinne Tuytelaars et Luc Van Gool. "SURF : Speeded Up Robust Features". In : *Computer Vision – ECCV 2006*. Sous la dir. d'Aleš Leonardis, Horst Bischof et Axel Pinz. Berlin, Heidelberg : Springer, 2006, p. 404-417. isbn : 978-3-540-33833-8. doi : [10.1007/11744023_32](https://doi.org/10.1007/11744023_32).

- [42] N. Dalal et B. Triggs. "Histograms of oriented gradients for human detection". In : *2005 IEEE Computer Society Conference on Computer Vision and Pattern Recognition (CVPR'05)*. 2005 IEEE Computer Society Conference on Computer Vision and Pattern Recognition (CVPR'05). T. 1. ISSN : 1063-6919. Juin 2005, 886-893 vol. 1. doi : [10.1109/CVPR.2005.177](https://doi.org/10.1109/CVPR.2005.177). url : <https://ieeexplore.ieee.org/abstract/document/1467360> (visité le 26/11/2025).
- [43] Yann LeCun et al. "Gradient-based learning applied to document recognition". In : *Proceedings of the IEEE* 86.11 (2002). Publisher : ieee, p. 2278-2324. url : <https://ieeexplore.ieee.org/abstract/document/726791/> (visité le 26/11/2025).
- [44] Alex Krizhevsky, Ilya Sutskever et Geoffrey E. Hinton. "Imagenet classification with deep convolutional neural networks". In : *Advances in neural information processing systems 25* (2012). url : <https://proceedings.neurips.cc/paper/2012/hash/c399862d3b9d6b76c8436e924a68c45bAbstract.html> (visité le 26/11/2025).
- [45] Christian Szegedy et al. "Going deeper with convolutions". In : *Proceedings of the IEEE conference on computer vision and pattern recognition*. 2015, p. 1-9. url : https://www.cv-foundation.org/openaccess/content_cvpr_2015/html/Szegedy_Going_Deeper_With_2015_CVPR_paper.html (visité le 26/11/2025).
- [46] Karen Simonyan et Andrew Zisserman. *Very Deep Convolutional Networks for Large-Scale Image Recognition*. 10 avr. 2015. doi : [10.48550/arXiv.1409.1556](https://doi.org/10.48550/arXiv.1409.1556)[cs]. url : <http://arxiv.org/abs/1409.1556> (visité le 26/11/2025).
- [47] Kaiming He et al. "Deep residual learning for image recognition". In : *Proceedings of the IEEE conference on computer vision and pattern recognition*. 2016, p. 770-778. url : http://openaccess.thecvf.com/content_cvpr_2016/html/He_Deep_Residual_Learning_CVPR_2016_paper.html (visité le 26/11/2025).
- [48] Olaf Ronneberger, Philipp Fischer et Thomas Brox. "U-Net: Convolutional Networks for Biomedical Image Segmentation". In : *Medical Image Computing and Computer-Assisted Intervention - MICCAI 2015*. Sous la dir. de Nassir Navab et al. T. 9351. Series Title : Lecture Notes in Computer Science. Cham : Springer International Publishing, 2015, p. 234-241. isbn : 978-3-319-24573-7 978-3-319-24574-4. doi : [10.1007/978-3-319-24574-4_28](https://doi.org/10.1007/978-3-319-24574-4_28). url : http://link.springer.com/10.1007/978-3-319-24574-4_28 (visité le 26/11/2025).

- [49] Forrest Landola et al. "DenseNet : Implementing efficient convnet descriptor pyramids". In : *arXiv preprint arXiv:1404.1869* (2014). url : <https://arxiv.org/abs/1404.1869> (visité le 26/11/2025).
- [50] Aaron Van Den Oord et al. "WaveNet : A generative model for raw audio". In : *arXiv preprint arXiv:1609.03499* 12 (2016), p. 1. url : https://www.academia.edu/download/61836013/WAVENET_-_A_GENERATIVE_MODEL_FOR_RAW_AUDIO_-_1609.0349920200120-19152-1e9641f.pdf (visité le 26/11/2025).
- [51] Jonas Gehring et al. "Convolutional sequence to sequence learning". In : *International conference on machine learning*. PMLR, 2017, p. 1243-1252. url : <https://proceedings.mlr.press/v70/gehring17a> (visité le 26/11/2025).
- [52] Nal Kalchbrenner et al. *Neural Machine Translation in Linear Time*. 15 mars 2017. doi : [10.48550/arXiv.1610.10099](https://doi.org/10.48550/arXiv.1610.10099). arXiv : [1610.10099\[cs\]](https://arxiv.org/abs/1610.10099). url : <http://arxiv.org/abs/1610.10099> (visité le 26/11/2025).
- [53] Shaojie Bai. "An Empirical Evaluation of Generic Convolutional and Recurrent Networks for Sequence Modeling". In : *arXiv preprint arXiv:1803.01271* (2018).
- [54] Yi Tay et al. *Are Pre-trained Convolutions Better than Pre-trained Transformers?* 30 jan. 2022. doi : [10.48550/arXiv.2105.03322](https://doi.org/10.48550/arXiv.2105.03322). arXiv : [2105.03322\[cs\]](https://arxiv.org/abs/2105.03322). url : <http://arxiv.org/abs/2105.03322> (visité le 26/11/2025).
- [55] Du Tran et al. "Learning spatiotemporal features with 3d convolutional networks". In : *Proceedings of the IEEE international conference on computer vision*. 2015, p. 4489-4497. url : http://openaccess.thecvf.com/content_iccv_2015/html/Tran_Learning_Spatiotemporal_Features_ICCV_2015_paper.html (visité le 26/11/2025).
- [56] Fausto Milletari, Nassir Navab et Seyed-Ahmad Ahmadi. "V-net : Fully convolutional neural networks for volumetric medical image segmentation". In : *2016 fourth international conference on 3D vision (3DV)*. IEEE, 2016, p. 565-571. url : <https://ieeexplore.ieee.org/abstract/document/7785132/> (visité le 26/11/2025).
- [57] T. N. Kipf. "Semi-supervised classification with graph convolutional networks". In : *arXiv preprint arXiv:1609.02907* (2016). url : <https://bibbase.org/service/mendeley/bfbbf840-4c42-3914-a463-19024f50b30c/file/25dbdd06-4704-a33f-23d9-c626b08adc1e/160902907.pdf.pdf> (visité le 26/11/2025).

- [58] Will Hamilton, Zhitao Ying et Jure Leskovec. "Inductive representation learning on large graphs". In : *Advances in neural information processing systems* 30 (2017). url : <https://proceedings.neurips.cc/paper/2017/hash/5dd9db5e033da9c6fb5ba83c7a7ebea9-Abstract.html> (visité le 26/11/2025).
- [59] Charles Ruizhongtai Qi et al. "Pointnet++ : Deep hierarchical feature learning on point sets in a metric space". In : *Advances in neural information processing systems* 30 (2017). url : <https://proceedings.neurips.cc/paper/2017/hash/d8bf84be3800d12f74d8b05e9b89836f-Abstract.html> (visité le 26/11/2025).
- [60] Jeffrey L. Elman. "Finding Structure in Time". In : *Cognitive Science* 14.2 (mars 1990), p. 179-211. issn : 0364-0213, 1551-6709. doi : [10.1207/s15516709cog1402_1](https://doi.org/10.1207/s15516709cog1402_1). url : https://onlinelibrary.wiley.com/doi/10.1207/s15516709cog1402_1 (visité le 27/11/2025).
- [61] Sepp Hochreiter et Jürgen Schmidhuber. "Long short-term memory". In : *Neural computation* 9.8 (1997). Publisher : MIT press, p. 1735-1780. url : <https://ieeexplore.ieee.org/abstract/document/6795963/> (visité le 27/11/2025).
- [62] Kyunghyun Cho et al. *On the Properties of Neural Machine Translation : Encoder-Decoder Approaches*. 7 oct. 2014. doi : [10.48550/arXiv.1409.1259](https://doi.org/10.48550/arXiv.1409.1259)[cs]. url : <http://arxiv.org/abs/1409.1259> (visité le 27/11/2025).
- [63] Junyoung Chung et al. *Empirical Evaluation of Gated Recurrent Neural Networks on Sequence Modeling*. 11 déc. 2014. doi : [10.48550/arXiv.1412.3555](https://doi.org/10.48550/arXiv.1412.3555). arXiv : [1412.3555\[cs\]](https://arxiv.org/abs/1412.3555). url : <http://arxiv.org/abs/1412.3555> (visité le 27/11/2025).
- [64] Albert Gu et al. "Hippo : Recurrent memory with optimal polynomial projections". In : *Advances in neural information processing systems* 33 (2020), p. 1474-1487. url : https://proceedings.neurips.cc/paper_files/paper/2020/hash/102f0bb6efb3a6128a3c750dd16729be-Abstract.html (visité le 27/11/2025).
- [65] Albert Gu, Karan Goel et Christopher Ré. *Efficiently Modeling Long Sequences with Structured State Spaces*. 5 août 2022. doi : [10.48550/arXiv.2111.00396](https://doi.org/10.48550/arXiv.2111.00396). arXiv : [2111.00396\[cs\]](https://arxiv.org/abs/2111.00396). url : <http://arxiv.org/abs/2111.00396> (visité le 27/11/2025).
- [66] Albert Gu et Tri Dao. "Mamba : Linear-time sequence modeling with selective state spaces". In : *First conference on language modeling*. 2024. url : <https://openreview.net/forum?id=tEYskw1VY2> (visité le 27/11/2025).

- [67] Ilya Sutskever, Oriol Vinyals et Quoc V. Le. "Sequence to sequence learning with neural networks". In : *Advances in neural information processing systems* 27 (2014). url : <https://proceedings.neurips.cc/paper/5346-sequence-to-sequence-learning-with-neural-> (visité le 27/11/2025).
- [68] Yonghui Wu et al. *Google's Neural Machine Translation System : Bridging the Gap between Human and Machine Translation*. 8 oct. 2016. doi : [10.48550/arXiv.1609.08144](https://doi.org/10.48550/arXiv.1609.08144). arXiv : [1609.08144\[cs\]](https://arxiv.org/abs/1609.08144). url : [http://arxiv.org/abs/1609.08144](https://arxiv.org/abs/1609.08144) (visité le 27/11/2025).
- [69] Edward Choi et al. "Doctor ai : Predicting clinical events via recurrent neural networks". In : *Machine learning for healthcare conference*. PMLR, 2016, p. 301-318. url : [http://proceedings.mlr.press/v56/Choi16](https://proceedings.mlr.press/v56/Choi16) (visité le 27/11/2025).
- [70] Pantelis R. Vlachas et al. "Data-driven forecasting of high-dimensional chaotic systems with long short-term memory networks". In : *Proceedings of the Royal Society A : Mathematical, Physical and Engineering Sciences* 474.2213 (mai 2018), p. 20170844. issn : 1364-5021, 1471-2946. doi : [10.1098/rspa.2017.0844](https://doi.org/10.1098/rspa.2017.0844). url : <https://royalsocietypublishing.org/doi/10.1098/rspa.2017.0844> (visité le 27/11/2025).
- [71] David Salinas et al. "DeepAR : Probabilistic forecasting with auto-regressive recurrent networks". In : *International journal of forecasting* 36.3 (2020). Publisher : Elsevier, p. 1181-1191. url : <https://www.sciencedirect.com/science/article/pii/S0169207019301888> (visité le 27/11/2025).
- [72] Sageev Oore et al. "This time with feeling : learning expressive musical performance". In : *Neural Computing and Applications* 32.4 (fév. 2020), p. 955-967. issn : 0941-0643, 1433-3058. doi : [10.1007/s00521-018-3758-9](https://doi.org/10.1007/s00521-018-3758-9). url : [http://link.springer.com/10.1007/s00521-018-3758-9](https://link.springer.com/10.1007/s00521-018-3758-9) (visité le 27/11/2025).
- [73] Dzmitry Bahdanau, Kyunghyun Cho et Yoshua Bengio. "Neural machine translation by jointly learning to align and translate". In : *arXiv preprint arXiv:1409.0473* (2014). url : <https://peerj.com/articles/cs-2607/code.zip> (visité le 30/11/2025).
- [74] Oriol Vinyals, Meire Fortunato et Navdeep Jaitly. "Pointer networks". In : *Advances in neural information processing systems* 28 (2015). url : https://proceedings.neurips.cc/paper_files/paper/2015/hash/29921001f2f04bd3baee84a12e98098f-Abstract.html (visité le 30/11/2025).

- [75] Jacob Devlin et al. "Bert : Pre-training of deep bidirectional transformers for language understanding". In : *Proceedings of the 2019 conference of the North American chapter of the association for computational linguistics : human language technologies, volume 1 (long and short papers)*. 2019, p. 4171-4186. url : https://aclanthology.org/N19-1423/?utm_campaign=The+Batch&utm_source=hs_email&utm_medium=email&_hse=2ANqtz-_m9bbH_7ECE1h3lZ3D61TYg52rKpifVNjL4 (visité le 30/11/2025).
- [76] Tom Brown et al. "Language models are few-shot learners". In : *Advances in neural information processing systems* 33 (2020), p. 1877-1901. url : https://proceedings.neurips.cc/paper_files/paper/2020/hash/1457c0d6bfcb4967418bfb8ac142f64a-Abstract.html?utm_source=transaction&utm_medium=email&utm_campaign=linkedin_newsletter (visité le 30/11/2025).
- [77] Colin Raffel et al. "Exploring the limits of transfer learning with a unified text-to-text transformer". In : *Journal of machine learning research* 21.140 (2020), p. 1-67. url : <http://www.jmlr.org/papers/v21/20-074.html> (visité le 30/11/2025).
- [78] Qingsong Wen et al. *Transformers in Time Series : A Survey*. 11 mai 2023. doi : [10.48550/arXiv.2202.07125](https://doi.org/10.48550/arXiv.2202.07125). arXiv : [2202.07125\[cs\]](https://arxiv.org/abs/2202.07125). url : [http://arxiv.org/abs/2202.07125](https://arxiv.org/abs/2202.07125) (visité le 30/11/2025).
- [79] Haoyi Zhou et al. "Informer : Beyond efficient transformer for long sequence time-series forecasting". In : *Proceedings of the AAAI conference on artificial intelligence*. T. 35. Issue : 12. 2021, p. 11106-11115. url : <https://ojs.aaai.org/index.php/AAAI/article/view/17325> (visité le 30/11/2025).
- [80] Haixu Wu et al. "Autoformer : Decomposition transformers with auto-correlation for long-term series forecasting". In : *Advances in neural information processing systems* 34 (2021), p. 22419-22430. url : <https://proceedings.neurips.cc/paper/2021/hash/bcc0d400288793e8bdcd7c19a8ac0c2b-Abstract.html> (visité le 30/11/2025).
- [81] Ailing Zeng et al. "Are transformers effective for time series forecasting?" In : *Proceedings of the AAAI conference on artificial intelligence*. T. 37. Issue : 9. 2023, p. 11121-11128. url : <https://ojs.aaai.org/index.php/AAAI/article/view/26317> (visité le 30/11/2025).
- [82] Yuqi Nie et al. *A Time Series is Worth 64 Words : Long-term Forecasting with Transformers*. 5 mars 2023. doi : [10.48550/arXiv.2211.14730](https://doi.org/10.48550/arXiv.2211.14730). arXiv : [2211.14730\[cs\]](https://arxiv.org/abs/2211.14730). url : [http://arxiv.org/abs/2211.14730](https://arxiv.org/abs/2211.14730) (visité le 30/11/2025).

- [83] Chen Sun et al. "Revisiting unreasonable effectiveness of data in deep learning era". In : *Proceedings of the IEEE international conference on computer vision*. 2017, p. 843-852. url : http://openaccess.thecvf.com/content_iccv_2017/html/Sun_Revisiting_Unreasonable_Effectiveness_ICCV_2017_paper.html (visité le 01/12/2025).
- [84] Ze Liu et al. "Swin transformer : Hierarchical vision transformer using shifted windows". In : *Proceedings of the IEEE/CVF international conference on computer vision*. 2021, p. 10012-10022. url : https://openaccess.thecvf.com/content/ICCV2021/html/Liu_Swin_Transformer_Hierarchical_Vision_Transformer_Using_Shifted_Windows_ICCV_2021_paper.html (visité le 30/11/2025).
- [85] John Jumper et al. "Highly accurate protein structure prediction with AlphaFold". In : *nature* 596.7873 (2021). Publisher : Nature Publishing Group UK London, p. 583-589. url : <https://www.nature.com/articles/s41586-021-03819-2> (visité le 30/11/2025).
- [86] Lili Chen et al. "Decision transformer : Reinforcement learning via sequence modeling". In : *Advances in neural information processing systems* 34 (2021), p. 15084-15097. url : <https://proceedings.neurips.cc/paper/2021/hash/7f489f642a0ddb10272b5c31057f0663-Abstract.html> (visité le 30/11/2025).